

**Exercice 1 : Questions préliminaires**

- Le développement en série de Fourier d'une fonction périodique  $f(t)$  se trouve quelquefois limité à un petit nombre de termes ; ce développement peut alors, parfois, s'obtenir à l'aide de formules trigonométriques simples. Déterminer ainsi le développement de Fourier de la fonction périodique suivante :  $f(t) = \cos(\omega t)\cos(\omega t + \phi)$ . En préciser la pulsation fondamentale et ses harmoniques éventuels. Quel lien existe-t-il entre la composante continue d'un tel développement et la valeur moyenne de  $f(t)$  pendant une période ?
- On considère la somme  $f(t)$  de deux sinusoïdes de même pulsation  $\omega$ , présentant entre elles un déphasage  $\phi$  :  $f(t) = A\cos(\omega t) + B\cos(\omega t + \phi)$ . Exprimer la moyenne  $\langle f^2(t) \rangle$  du carré de cette somme.
- On considère maintenant deux sinusoïdes de pulsations différentes  $\omega$  et  $\Omega$ .
  - Exprimer la moyenne du produit  $P(t) = \cos(\omega t)\cos(\Omega t + \phi)$
  - En déduire la moyenne  $\langle S^2(t) \rangle$  du carré de la somme  $S(t) = A\cos(\omega t) + B\cos(\Omega t + \phi)$

**Exercice 2:**

- Qualifier les deux filtres suivants (filtre 1 : circuit RC ; filtre 2 : circuit LCR) et calculer leur gain, leur déphasage et leur(s) pulsation(s) de coupure. A.N :  $R=500\Omega$  ;  $L=10\text{mH}$  ;  $C=10\text{nF}$ .
- On applique en entrée la tension rectangulaire  $u(t)$ , périodique de période  $T$ , définie par :  $\begin{cases} t \in ]0, \alpha T[ : u(t) = E \\ t \in ]\alpha T, T[ : u(t) = 0 \end{cases}$   
 $\alpha$  est le rapport cyclique, avec  $\alpha=1/2$  et  $T=2\pi \cdot 10^{-5}\text{s}$ . Représenter le spectre de décomposition de Fourier de la tension d'entrée, puis celui de la tension de sortie pour chacun des deux filtres.

**Exercice 3 : Filtrage d'une tension en rampe montante**

On applique la tension périodique de période  $T$ , définie par :  $t \in ]0, T[ : u_e(t) = \frac{E}{T}t$  à l'entrée d'un filtre RL. On donne :  $T=20\text{ms}$  ;  $R=5\Omega$  ;  $L=10\text{mH}$ .

- Faire une étude du filtre : nature, fonction de transfert, gain  $G$  et déphasage  $\theta$ .
- Calculer les paramètres  $C_{ne}$  et  $\phi_{ne}$  de la décomposition Fourier de la tension d'entrée  $u_e(t)$ .
- En déduire les paramètres  $C_{ns}$  et  $\phi_{ns}$  de la décomposition Fourier de la tension de sortie  $u_s(t)$ .

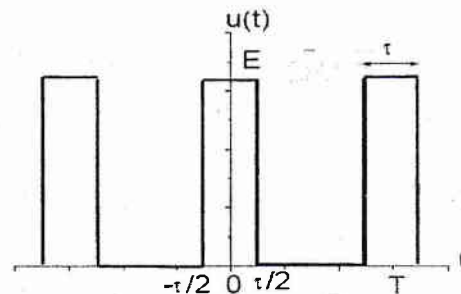
**Exercice 4 : Opérations sur les signaux**

- On considère le signal carré, d'amplitude crête à crête  $2E$ , périodique de période  $T$  avec :
  - Pour  $0 \leq t \leq T/2$  ;  $v_e(t) = E$
  - Pour  $T/2 \leq t \leq T$  ;  $v_e(t) = -E$
  - Représenter  $v_e(t)$ , exprimer son développement en série de Fourier et tracer son spectre d'amplitude.
  - Translation temporelle** : le signal  $v_s(t)$  est retardée d'une valeur  $\theta = T/4$  et  $v_s(t)$  est tel que  $v_s(t) = v_e(t - \theta)$ . Représenter  $v_s(t)$ , exprimer son développement en série de Fourier et tracer son spectre d'amplitude : conclusion.
  - Translation de niveau** : On ajoute au signal  $v_e(t)$  une valeur constante  $E$ . Représenter  $v_s(t)$ , exprimer son développement en série de Fourier et tracer son spectre d'amplitude : conclusion.
- Dérivation** : On considère le signal triangulaire  $v_e(t)$  d'amplitude crête à crête  $2V$  périodique de période  $T$  avec  $v_e(0) = V$  et  $v_e(T/2) = -V$ .  $v_s(t)$  est tel que  $v_s(t) = \tau \frac{dv_e(t)}{dt}$ . Représenter  $v_s(t)$ , à l'aide du développement en série de Fourier de  $v_e(t)$  en déduire celui de  $v_s(t)$ . Montrer qu'en choisissant convenablement la valeur de  $\tau$  on retrouve un signal carré d'amplitude crête à crête  $2E$ .
- Translation fréquentielle** : On considère deux signaux  $v_1(t)$  et  $v_2(t)$  appliqués aux entrées d'un multiplicateur analogue tel que  $v_s(t) = K \cdot v_1(t) \cdot v_2(t)$ .
  - Pour  $v_1(t) = V_1 \cos \omega_1 t$ ,  $v_2(t) = V_2 \cos \omega_2 t$  avec  $\omega_2 \gg \omega_1$ , représenter l'allure de  $v_s(t)$  ainsi que son spectre d'amplitude.
  - lorsque  $v_1(t)$  est un signal carré d'amplitude  $E$  et de pulsation  $\omega_0 \ll \omega_2$  avec  $v_2(t) = V_2 \cos \omega_2 t$ , exprimer  $v_s(t)$  sous la forme d'une somme infinie de sinusoïdes et représenter son spectre d'amplitude.

**Exercice 5 : Signal rectangulaire impulsionnel pair**

Soit le signal périodique formé par la répétition périodique (période  $T$ ) d'impulsion de durée  $\tau$  (représenté sur la figure). On définit le rapport cyclique par  $\alpha = \frac{\tau}{T}$ .

- Déterminer les coefficients  $a_n$  et  $b_n$  de la décomposition en série de Fourier.
- Pour un signal carré, montrer que les harmoniques paires s'annulent à l'exception de l'ordre 0. Existe-t-il d'autres valeurs du rapport cyclique pour lesquelles cette propriété est vraie ?

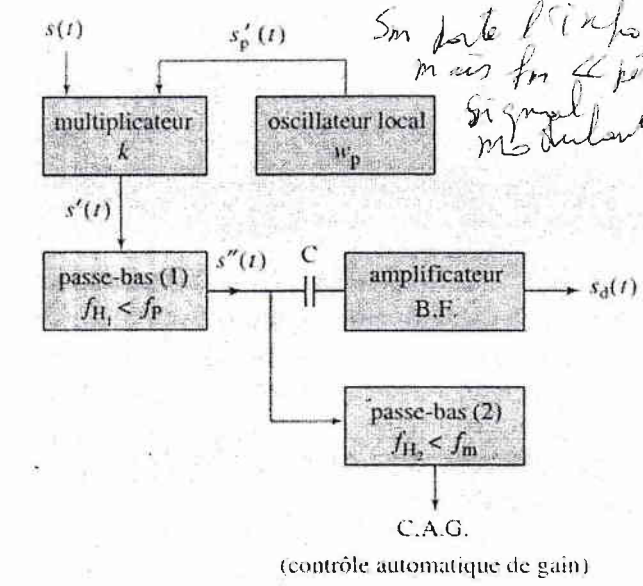
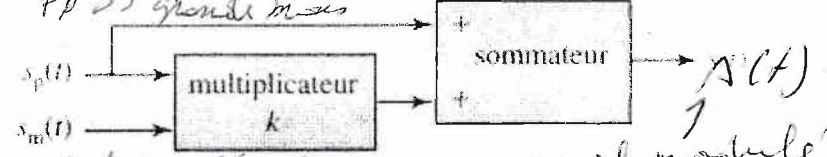


3. Commenter l'évolution des coefficients du développement au fur et à mesure que la durée de l'impulsion diminue.

**Exercice 6 : Spectre d'un signal modulé sinusoidalement en amplitude**

Un signal porteur  $s_p(t) = A_p \cos(2\pi f_p t)$  est modulé en amplitude lorsque son amplitude  $A_p$  est fonction d'un signal modulant  $s_m(t)$  de fréquence  $f_m \ll f_p$ . Dans le cas d'une modulation sinusoidale, le signal modulant est sinusoidal  $s_m(t) = A_m \cos(2\pi f_m t)$  et le signal modulé est de la forme  $s(t) = A_p [1 + m \cos(2\pi f_m t)] \cos(2\pi f_p t)$ , où  $m$  est l'indice de

*Pour émettre un signal il faut une fréquence  $f_p \gg$  grande mais ne porte pas l'info*  
*signal modulé qui va transporter  $s_p$  et  $s_m$*



1. Le modulateur utilisé étant représenté ci-contre, calculer l'indice de modulation  $m$ .
2. Déterminer le spectre de fréquence du signal modulé  $s(t)$ .
3. Donner l'allure du signal modulé pour un indice de modulation  $m < 1$ .
4. Calculer la bande passante nécessaire à la transmission d'un signal audio encombrant la plage de fréquence  $f_{m1} = 300\text{Hz} \leq f_m \leq f_{m2} = 4,5\text{kHz}$ , sachant que la porteuse utilisée est de fréquence  $f_p = 1\text{MHz}$ .
5. En admettant que nous disposons, à la réception, d'un oscillateur local  $s'_p = A'_p \cos(2\pi f_p t)$  synchrone de l'oscillateur utilisé à l'émission, expliquer le principe du circuit représenté ci-après, où le filtre passe-bas (1) a une fréquence de coupure  $f_{H1}$  telle que  $f_{H1} < f_p$  et le filtre passe-bas (2) une fréquence de coupure  $f_{H2} < f_m$ .

**Exercice 7 : Signal redressé monoalternance**

$$s(t) = \begin{cases} 0, & \text{pour } t \in \left[-\frac{T}{2}, 0\right]; \\ E \sin\left(\frac{2\pi t}{T}\right), & \text{pour } t \in \left[0, \frac{T}{2}\right]. \end{cases}$$

- Le signal  $s(t)$  (nommé tension redressée monoalternance) est une fonction périodique de période  $T$  du temps et de fréquence  $f = 50\text{ Hz}$
1. Représenter la fonction  $s$  en fonction du temps  $t$ .
  2. Donner les expressions et valeurs numériques de la période  $T$  et de la pulsation  $\omega$  de  $s(t)$ .
  3. Développer  $s(t)$  en série de Fourier.
  4. Calculer le facteur de forme  $F$  et le taux d'ondulation  $\delta_0$  de ce signal.

**Exercice 8**

Un signal  $s(t)$  peut être décomposé en série de Fourier de la façon suivante :  $s(t) = 5 + 7 \sin(500t) + 10 \sin(1000t) + 2 \sin(1500t) + 1,5 \sin(2000t)$

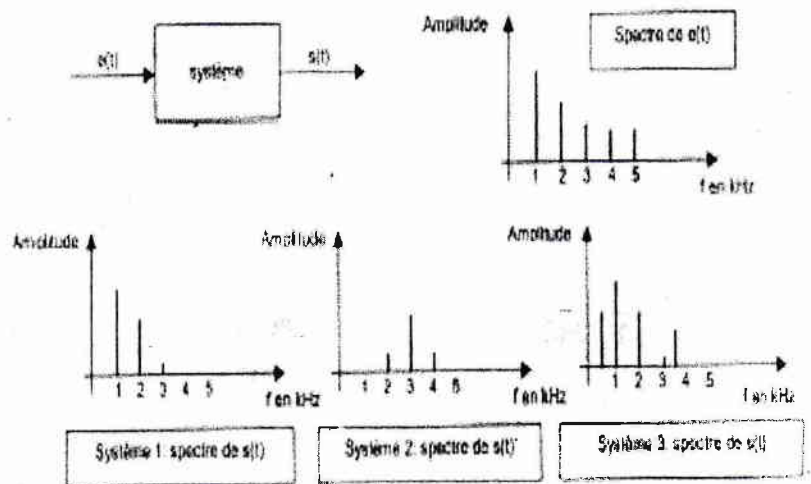
Représenter le spectre de  $s(t)$ .

**Exercice 9**

Soit un système physique qui, à une grandeur d'entrée fonction du temps  $e(t)$ , fait correspondre une grandeur de sortie fonction du temps  $s(t)$ . A quelle condition ce système peut-il être dit linéaire ? On étudie expérimentalement plusieurs systèmes (système 1, système 2 et système 3) à l'aide d'un analyseur numérique. Pour cela on applique à leur entrée le même signal  $e(t)$ .

- (a) Qu'appelle-t-on spectre de Fourier d'un signal périodique  $s(t)$  ?
- (b) Le système 1 est-il linéaire ? Quel est son rôle ?
- (c) Qu'en est-il des systèmes 2 et 3 ?

On donne ci-contre les spectres de Fourier du signal  $e(t)$  et ceux des signaux obtenus en sortie des trois systèmes.



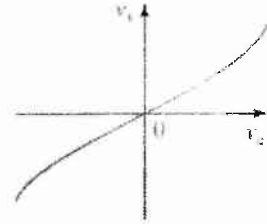
**Exercice 10**

1) Calculer, en utilisant sa définition, la valeur efficace  $I$  d'un courant sinusoïdal redressé double alternance. Comparer au signal non redressé.

2) Ce courant redressé est filtré par un filtre passe bas parfait, de fréquence de coupure  $f_H$ . Déterminer la valeur minimale de la fréquence de coupure pour que 99% de la puissance moyenne soit transmise. Comparer au signal non redressé.

**Exercice 11 : Distorsion harmonique d'un amplificateur**

La caractéristique  $v_s = f(v_e)$ , donnée ci-contre, est celle d'un amplificateur soumis à des tensions sinusoïdales  $v_e(t) = v_{e_m} \cos(\omega t)$  dont les fréquences sont comprises dans sa bande passante. Sachant que l'équation de cette caractéristique est de la forme  $v_s = av_e + bv_e^3$  ( $a > 0, b > 0$ ), déterminer le taux de distorsion harmonique  $\delta_h$  de cet amplificateur.



# TD n°1 ÉLECTRONIQUE

## Exercice 1 : questions préliminaires

1- a) Développement de Fourier de  $f(t) = \cos(\omega t)$

$$f(t) = \frac{1}{2} [\cos(2\omega t + \phi) + \cos \phi]; \quad (\cos a \cos b = \frac{1}{2} [\cos(a+b)$$

$$= \frac{1}{2} \cos \phi + \frac{1}{2} \cos(2\omega t + \phi)]$$

$$f(t) = \frac{1}{2} \cos \phi + \frac{1}{2} \cos \phi \cos(2\omega t) - \frac{1}{2} \sin \phi \sin(2\omega t)$$

$$a_0 = \frac{1}{2} \cos \phi, \quad a_2 = \frac{1}{2} \cos \phi; \quad b_2 = -\frac{1}{2} \sin \phi$$

$$a_n = 0 \quad n \neq 0, 2; \quad b_n \neq 0 \quad n \neq 2$$

b) Pas de fondamental; harmoniques paires (harmonique d'ordre 2)

$$\text{Pas de fondamental} \quad a_0 = \frac{1}{T} \int_0^T f(t) dt = \langle f(t) \rangle = \frac{1}{2} \cos \phi$$

$$2) \quad f(t) = A \cos(\omega t) + B \cos(\omega t + \phi); \quad \langle f(t) \rangle$$

$$f^2(t) = A^2 \cos^2(\omega t) + B^2 \cos^2(\omega t + \phi) + 2AB \cos(\omega t) \cos(\omega t + \phi)$$

$$\langle \cos^2(\omega t) \rangle = \langle \cos^2(\omega t + \phi) \rangle = \frac{1}{2} \quad \text{et}$$

$$\langle \cos(\omega t) \cos(\omega t + \phi) \rangle = \frac{1}{2} \cos \phi$$

$$\langle f^2(t) \rangle = A^2 \langle \cos^2(\omega t) \rangle + B^2 \langle \cos^2(\omega t + \phi) \rangle + 2AB \langle \cos(\omega t) \cos(\omega t + \phi) \rangle$$

$$\langle f^2(t) \rangle = \frac{1}{2} (A^2 + B^2) + AB \cos \phi$$

3- a)  $P(t) = \cos(\omega t) \cos(\omega t + \phi); \quad \langle P(t) \rangle$

$$P(t) = \frac{1}{2} [\cos(\omega t + \omega t + \phi) + \cos(\omega t - \omega t - \phi)]$$

$$\langle P(t) \rangle = \frac{1}{2} [\langle \cos(2\omega t + \phi) \rangle + \langle \cos(\omega t - \omega t - \phi) \rangle]$$
$$\langle P(t) \rangle = 0$$

$$\langle S^2(t) \rangle = \frac{1}{2} (A^2 + B^2)$$

$$\langle S^2(t) \rangle = A^2 \langle \cos^2(\omega t) \rangle + B^2 \langle \sin^2(\omega t) \rangle + 2AB \langle \cos(\omega t) \sin(\omega t) \rangle$$

$$b) S(t) = A \cos(\omega t) + B \sin(\omega t) \quad \langle S^2(t) \rangle$$

## Exercices d'apprentissage

### Exercice 1 : tension efficace de signaux périodiques

Calculer la valeur efficace  $U_{\text{eff}}$  de la tension  $u(t)$ , périodique de période  $T$  et amplitude  $U_m$ , dans chacun des cas suivants :

- $u(t)$  est une tension sinusoïdale
- $u(t)$  est une tension rectangulaire
- $u(t)$  est une tension triangulaire

#### Solution

1) Soit :  $u(t) = U_m \cos(\omega t)$  avec :  $\omega = \frac{2\pi}{T}$

Par définition :  $U_{\text{eff}} = \sqrt{\frac{1}{T} \int_0^T u^2(t) dt} = \sqrt{\frac{U_m^2}{T} \int_0^T \cos^2(\omega t) dt}$

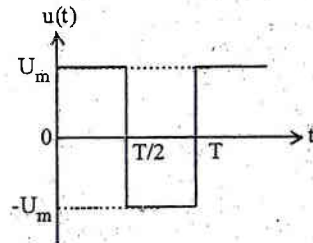
Par linéarisation, on obtient :  $\cos^2(\omega t) = \frac{1}{2} + \frac{1}{2} \cos(2\omega t)$  d'où :

$$U_{\text{eff}} = \sqrt{\frac{U_m^2}{T} \left[ \frac{t}{2} + \frac{1}{4\omega} \sin(2\omega t) \right]_0^T} = \sqrt{\frac{U_m^2}{T} \left( \frac{T}{2} + \frac{1}{4\omega} \underbrace{\sin(2\omega T)}_{=0} \right)} = \boxed{\frac{U_m}{\sqrt{2}}}$$

2)  $u(t)$  est définie par intervalles. Il convient de choisir judicieusement l'origine des temps afin de limiter à deux le nombre d'intervalles sur une période

(figure ci-contre) :

$$\begin{cases} t \in \left] 0, \frac{T}{2} \right[ : u(t) = U_m \\ t \in \left] \frac{T}{2}, T \right[ : u(t) = -U_m \end{cases}$$

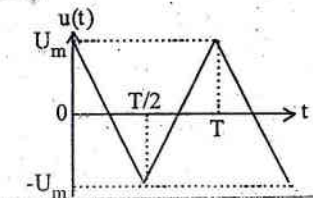


$$U_{\text{eff}} = \sqrt{\frac{1}{T} \int_0^T u^2(t) dt} = \sqrt{\frac{1}{T} \left[ \int_0^{T/2} U_m^2 dt + \int_{T/2}^T (-U_m)^2 dt \right]} = \sqrt{\frac{U_m^2}{T} \left( \frac{T}{2} + \frac{T}{2} \right)}$$

soit finalement :  $\boxed{U_{\text{eff}} = U_m}$

3) Soit :

$$\begin{cases} t \in \left] 0, \frac{T}{2} \right[ : u(t) = -\frac{4U_m}{T} t + U_m \\ t \in \left] \frac{T}{2}, T \right[ : u(t) = \frac{4U_m}{T} t - 3U_m \end{cases}$$



$$U_{\text{eff}} = \sqrt{\frac{1}{T} \int_0^T u^2(t) dt} = \sqrt{\frac{1}{T} \left[ \int_0^{T/2} \left( -\frac{4U_m}{T} t + U_m \right)^2 dt + \int_{T/2}^T \left( \frac{4U_m}{T} t - 3U_m \right)^2 dt \right]}$$

$$U_{\text{eff}} = \sqrt{\frac{U_m^2}{T} \left[ \int_0^{T/2} \left( \frac{16t^2}{T^2} - \frac{8t}{T} + 1 \right) dt + \int_{T/2}^T \left( \frac{16t^2}{T^2} - \frac{24t}{T} + 9 \right) dt \right]}$$

$$U_{\text{eff}} = \sqrt{\frac{U_m^2}{T} \left( \left[ \frac{16t^3}{3T^2} - \frac{4t^2}{T} + t \right]_0^{T/2} + \left[ \frac{16t^3}{3T^2} - \frac{12t^2}{T} + 9t \right]_{T/2}^T \right)}$$

$$U_{\text{eff}} = U_m \sqrt{\left( \frac{2}{3} - 1 + \frac{1}{2} \right) + \left( \frac{16}{3} - 12 + 9 \right) - \left( \frac{2}{3} - 3 + \frac{9}{2} \right)} = \boxed{\frac{U_m}{\sqrt{3}}}$$

### Exercice 2 : coefficients de Fourier d'une tension triangulaire

Soit la tension triangulaire  $u(t)$ , d'amplitude  $U_m$  et de période  $T$ , définie par

intervalles à la question 3 de l'exercice précédent. On pose :  $\omega = \frac{2\pi}{T}$ .

- Calculer les coefficients de Fourier de la décomposition de  $u(t)$ .
- Calculer numériquement ces coefficients pour  $n \leq 8$ , et tracer les graphes obtenus par superposition progressive des contributions à  $u(t)$  des 9 premières fréquences.

#### Solution

1)  $u(t)$  étant paire, les coefficients  $B_n$  sont tous nuls.

$$\frac{A_0}{2} = \frac{1}{T} \int_0^T u(t) dt = \frac{1}{T} \left[ \int_0^{T/2} \left( -\frac{4U_m}{T} t + U_m \right) dt + \int_{T/2}^T \left( \frac{4U_m}{T} t - 3U_m \right) dt \right]$$

$$\frac{A_0}{2} = \frac{U_m}{T} \left( \left[ -\frac{2t^2}{T} + t \right]_0^{T/2} + \left[ \frac{2t^2}{T} - 3t \right]_{T/2}^T \right)$$

$$\frac{A_0}{2} = U_m \left[ \left( -\frac{1}{2} + \frac{1}{2} \right) + (2-3) - \left( \frac{1}{2} - \frac{3}{2} \right) \right] = \boxed{0} \quad \text{: la valeur moyenne est nulle,}$$

ce qui était prévisible. Pour  $n \geq 1$  :

$$A_n = \frac{2}{T} \left[ \int_0^{T/2} \left( -\frac{4U_m}{T} t + U_m \right) \cos(n\omega t) dt + \int_{T/2}^T \left( \frac{4U_m}{T} t - 3U_m \right) \cos(n\omega t) dt \right]$$

$I_n$  se calcule par intégration par parties, en posant :

$$\begin{cases} v(t) = -\frac{4U_m}{T}t + U_m \\ w'(t) = \cos(n\omega t) \end{cases} \text{ soit : } \begin{cases} v'(t) = -\frac{4U_m}{T} \\ w(t) = \frac{1}{n\omega} \sin(n\omega t) \end{cases}$$

$$I_n = \left[ \frac{1}{n\omega} \left( -\frac{4U_m}{T}t + U_m \right) \sin(n\omega t) \right]_0^{T/2} + \int_0^{T/2} \frac{4U_m}{n\omega T} \sin(n\omega t) dt$$

Compte tenu que  $\omega T = 2\pi$ , le terme entre crochets est nul et :

$$I_n = \frac{2U_m}{n\pi} \int_0^{T/2} \sin(n\omega t) dt = \frac{2U_m}{n^2\pi\omega} [-\cos(n\omega t)]_0^{T/2} = \frac{2U_m}{n^2\pi\omega} [\cos(0) - \cos(n\pi)]$$

Finalement :  $I_n = \frac{2U_m}{n^2\pi\omega} [1 - (-1)^n]$  et :  $J_n = \frac{2U_m}{n^2\pi\omega} [\cos(n\omega t)]_0^{T/2} = I_n$

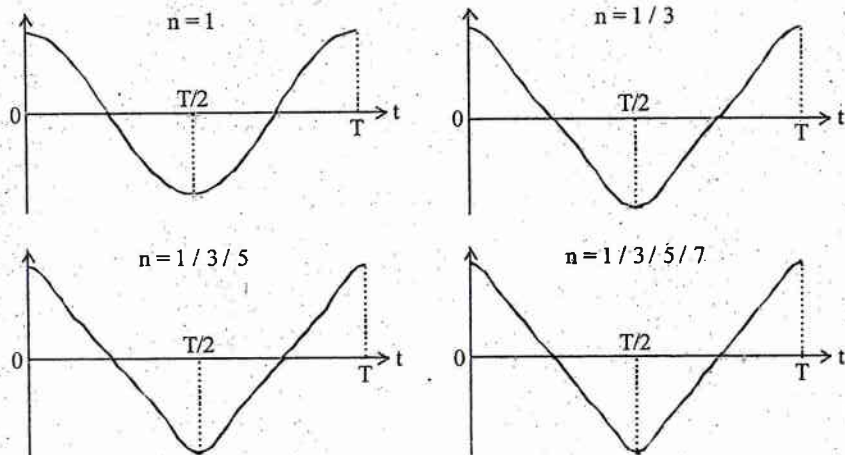
d'où :  $A_n = \frac{2}{T}(2I_n) = \frac{4U_m}{n^2\pi^2} [1 - (-1)^n]$  donc :

$$\begin{cases} \text{si } n \text{ pair : } A_n = 0 \\ \text{si } n \text{ impair : } A_n = \frac{8U_m}{n^2\pi^2} \end{cases}$$

2)

n	1	2	3	4	5	6	7	8
$A_n$	0,811 $U_m$	0	0,090 $U_m$	0	0,032 $U_m$	0	0,017 $U_m$	0

La figure ci-dessous représente les tensions obtenues par superposition des contributions de rang :



La fondamentale est purement sinusoïdale, et la tension  $u(t)$  est progressivement recomposée à mesure qu'on ajoute des contributions supplémentaires.

### Exercice 3 : tension rectangulaire

Soit la tension rectangulaire  $u(t)$ , périodique de période  $T$ , définie par :

$$\begin{cases} t \in ]0, \alpha T[ : u(t) = E \\ t \in ]\alpha T, T[ : u(t) = 0 \end{cases} \quad \alpha \text{ est le rapport cyclique, et on pose : } \omega = \frac{2\pi}{T}$$

Calculer les coefficients de Fourier de la décomposition de  $u(t)$ .

#### Solution

La valeur moyenne vaut :  $\frac{A_0}{2} = \frac{1}{T} \int_0^T u(t) dt = \frac{1}{T} \left( \int_0^{\alpha T} E dt + \int_{\alpha T}^T 0 dt \right) = \boxed{\alpha E}$

$$A_n = \frac{2}{T} \left( \int_0^{\alpha T} E \cos(n\omega t) dt + \int_{\alpha T}^T 0 \cdot \cos(n\omega t) dt \right) = \frac{2E}{n\omega T} [\sin(n\omega t)]_0^{\alpha T}$$

d'où : 
$$A_n = \frac{E}{n\pi} \sin(2\pi n\alpha)$$

$$B_n = \frac{2}{T} \left( \int_0^{\alpha T} E \sin(n\omega t) dt + \int_{\alpha T}^T 0 \cdot \sin(n\omega t) dt \right) = \frac{2E}{n\omega T} [-\cos(n\omega t)]_0^{\alpha T}$$

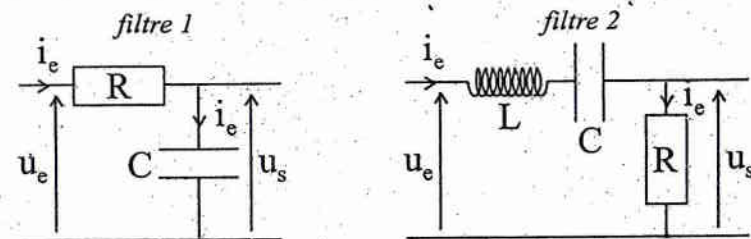
d'où : 
$$B_n = \frac{E}{n\pi} [1 - \cos(2\pi n\alpha)]$$

En résumé :

$$u(t) = \alpha E + \sum_{n=1}^{\infty} \frac{E}{n\pi} \{ \sin(2\pi n\alpha) \cos(n\omega t) + [1 - \cos(2\pi n\alpha)] \sin(n\omega t) \}$$

### Exercice 4 : décomposition de Fourier après filtrage

1) Qualifier les deux filtres ci-dessous, et calculer leur gain, leur déphasage et leur(s) pulsation(s) de coupure.  $\underline{AN}$  :  $R = 500 \Omega$  ;  $L = 10 \text{ mH}$  ;  $C = 10 \text{ nF}$ .

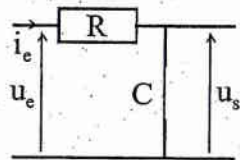
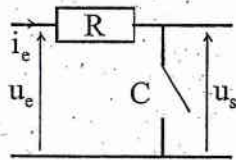


2) On applique en entrée la tension rectangulaire de l'exercice précédent avec  $\alpha = 1/2$  et  $T = 2\pi \cdot 10^{-5} \text{ s}$ . Représenter le spectre de décomposition de Fourier de la tension d'entrée, puis celui de la tension de sortie pour chacun des deux filtres.

**Solution**

1) Etudions les deux filtres en régime sinusoïdal forcé de pulsation  $\omega$ .

- **Filtre 1** : pour  $\omega = 0$  :  $i_e = 0$  pour  $\omega \rightarrow \infty$  :  $u_s = 0$  : non passant.  
donc  $Ri_e = 0$  et  $u_s = u_e$  : passant.



Pont diviseur de tension : 
$$\underline{H}(j\omega) = \frac{u_s}{u_e} = \frac{Z_C}{R + Z_C} = \frac{1/jC\omega}{R + 1/jC\omega} = \frac{1}{1 + jRC\omega}$$

$$G(\omega) = \frac{1}{\sqrt{1 + (RC\omega)^2}}$$
  $G(\omega)$  est maximal pour  $\omega = 0$ , ce qui confirme le caractère passe-bas du filtre, et :  $G_{\max} = 1$ .

La pulsation de coupure  $\omega_c$  vérifie : 
$$\frac{1}{\sqrt{1 + (RC\omega_c)^2}} = \frac{G_{\max}}{\sqrt{2}} = \frac{1}{\sqrt{2}}$$
 soit :

$(RC\omega_c)^2 = 1$  et :  $\omega_c = \frac{1}{RC} = 2.10^5 \text{ rad.s}^{-1}$ . De plus :  $\varphi(\omega) = -\arctan(RC\omega)$ .

- **Filtre 2** : posons :  $\omega_0 = \frac{1}{\sqrt{LC}}$ ,  $Q = \frac{L\omega_0}{R} = \frac{1}{RC\omega_0}$  et :  $x = \frac{\omega}{\omega_0}$ .

Pour  $\omega = 0$ , le condensateur se comporte comme un interrupteur ouvert et  $i_e = 0$  donc  $u_s = 0$  (non passant). Pour  $\omega \rightarrow \infty$ , la bobine se comporte comme un interrupteur ouvert et  $i_e = 0$  donc  $u_s = 0$  (non passant) : le filtre est **passe-bande**.

Pont diviseur de tension : 
$$\underline{H}(j\omega) = \frac{u_s}{u_e} = \frac{R}{R + Z_L + Z_C} = \frac{1}{1 + jQ\left(x - \frac{1}{x}\right)}$$

$$G(x) = \left[1 + Q^2\left(x - \frac{1}{x}\right)^2\right]^{-1/2}$$
 et : 
$$\varphi(x) = -\arctan\left[Q\left(x - \frac{1}{x}\right)\right]$$

$G$  est maximal lorsque le radical sous la racine est minimal, soit, puisqu'il s'agit d'une somme de termes positifs, pour  $x - \frac{1}{x} = 0$ . Donc :  $x_1 = 1$  et  $G_{\max} = 1$ .

Les pulsations de coupure vérifient : 
$$\frac{1}{\sqrt{1 + Q^2\left(x_c - \frac{1}{x_c}\right)^2}} = \frac{1}{\sqrt{2}}$$
 soit encore :

$$Q^2\left(x_c - \frac{1}{x_c}\right)^2 = 1 \Leftrightarrow x_c^2 \pm \frac{x_c}{Q} - 1 = 0 \Leftrightarrow x_c = \pm \frac{1}{2Q} \pm \frac{1}{2}\sqrt{\frac{1}{Q^2} + 4}$$

Seules 2 des 4 solutions sont positives : 
$$x_{c1,2} = \pm \frac{1}{2Q} + \frac{1}{2}\sqrt{\frac{1}{Q^2} + 4}$$
.

Finalement :  $\omega_r = \frac{1}{\sqrt{LC}}$  et :  $\omega_{c1,2} = \pm \frac{R}{2L} + \frac{1}{2}\sqrt{\frac{R^2}{L^2} + \frac{4}{LC}}$ . Numériquement :

$\omega_r = 10^5 \text{ rad.s}^{-1}$      $\omega_{c1} = 7,8.10^4 \text{ rad.s}^{-1}$     et :     $\omega_{c2} = 1,28.10^5 \text{ rad.s}^{-1}$

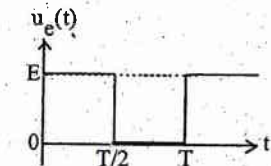
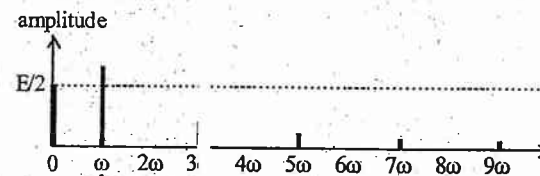
2) Avec  $\alpha = 1/2$  :  $\sin(2\pi n\alpha) = \sin(n\pi) = 0$  et :  $\cos(2\pi n\alpha) = \cos(n\pi) = (-1)^n$

La tension d'entrée s'écrit donc : 
$$u_e(t) = \frac{E}{2} + \sum_{n=1}^{\infty} \frac{E}{n\pi} [1 - (-1)^n] \sin(n\omega t)$$
.

Par ailleurs :  $\omega = 2\pi/T = 10^5 \text{ rad.s}^{-1}$ . Calculons les amplitudes des contributions majoritaires de  $u_e$ , qui correspondent forcément aux pulsations les plus basses à cause de la décroissance en  $1/n$  des coefficients de Fourier :

pulsation (rad. <sup>-1</sup> )	0	10 <sup>5</sup>	2.10 <sup>5</sup>	3.10 <sup>5</sup>	4.10 <sup>5</sup>	5.10 <sup>5</sup>	6.10 <sup>5</sup>	7.10 <sup>5</sup>	8.10 <sup>5</sup>	9.10 <sup>5</sup>
amplitude	$\frac{E}{2}$	$\frac{2E}{\pi}$	0	$\frac{2E}{3\pi}$	0	$\frac{2E}{5\pi}$	0	$\frac{2E}{7\pi}$	0	$\frac{2E}{9\pi}$

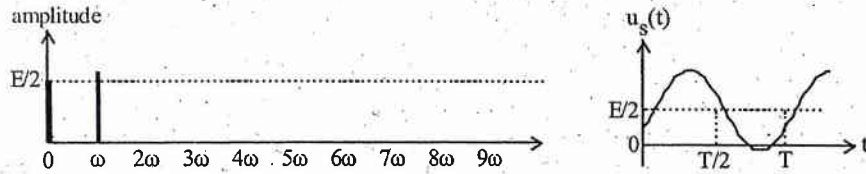
On reproduit ci-dessous le spectre de décomposition de Fourier et le graphe de la tension d'entrée :



- **Tension à la sortie du filtre 1 :**

Le filtre 1 est un filtre passe-bas de pulsation de coupure  $\omega_c = 2.10^5 \text{ rad.s}^{-1}$ . En première approximation, on peut considérer que seules les contributions du spectre de la tension d'entrée dont les pulsations sont inférieures à  $\omega_c$  passent à travers le filtre et se recombient pour former la tension de sortie, les autres contributions étant coupées. La contribution de pulsation  $\omega$  est atténuée d'un facteur  $G(\omega) = 0,89$  et déphasée de  $\varphi(\omega) = -0,46 \text{ rad}$ .

D'où le spectre de décomposition de Fourier et le graphe de la tension de sortie :

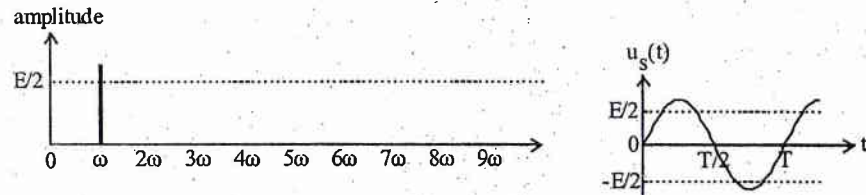


Le filtre a transformé la tension rectangulaire en tension **sinusoïdale** de valeur moyenne égale à  $E/2$ .

• **Tension à la sortie du filtre 2 :**

Le filtre 2 est un filtre passe-bande de pulsation de résonance  $\omega_r = 10^5 \text{ rad.s}^{-1}$  et pulsations de coupure  $\omega_{C1} = 7,8 \cdot 10^4 \text{ rad.s}^{-1}$  et  $\omega_{C2} = 1,28 \cdot 10^5 \text{ rad.s}^{-1}$ . On peut considérer que seules les contributions du spectre de la tension d'entrée dont les pulsations sont comprises entre  $\omega_{C1}$  et  $\omega_{C2}$  passent à travers le filtre et se recombinaient pour former la tension de sortie. La contribution de pulsation  $\omega$  n'est ni atténuée ni déphasée car  $G(\omega) = 1$  et  $\varphi(\omega) = 0$ .

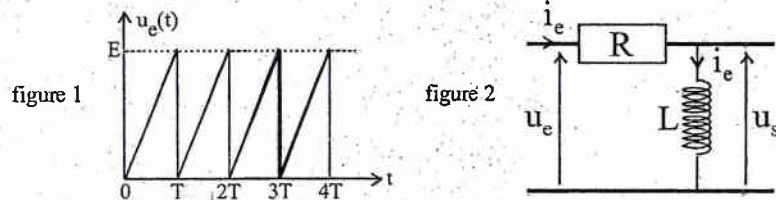
D'où le spectre de décomposition de Fourier et le graphe de la tension de sortie :



Le filtre a transformé la tension rectangulaire en tension **sinusoïdale** de valeur moyenne nulle.

**Exercice 5 : filtrage d'une tension en rampe montante**

On applique la tension périodique  $u_e(t)$  représentée figure 1 à l'entrée du filtre RL représenté figure 2.

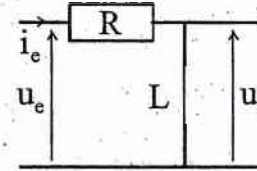


On donne :  $T = 20 \text{ ms}$  ;  $R = 5 \Omega$  ;  $L = 10 \text{ mH}$ .

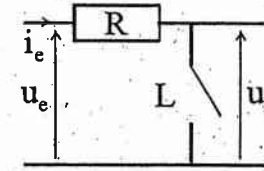
- 1) Faire une étude du filtre : nature, fonction de transfert, gain  $G$  et déphasage  $\theta$ .
- 2) Calculer les paramètres  $C_{ne}$  et  $\varphi_{ne}$  de la décomposition Fourier de la tension d'entrée  $u_e(t)$ .
- 3) En déduire les paramètres  $C_{ns}$  et  $\varphi_{ns}$  de la décomposition Fourier de la tension de sortie  $u_s(t)$ .

**Solution**

1) pour  $\omega = 0$  :  $u_s = 0$  : non passant.



pour  $\omega \rightarrow \infty$  :  $i_e = 0$ ,  $Ri_e = 0$  et  $u_s = u_e$  : passant. Donc le filtre est **passé-haut**.



Pont diviseur de tension : 
$$H(j\omega) = \frac{u_s}{u_e} = \frac{Z_L}{R + Z_L} = \frac{jL\omega}{R + jL\omega}$$

$$G(\omega) = \frac{1}{\sqrt{1 + \left(\frac{R}{L\omega}\right)^2}}$$

et : 
$$\theta(\omega) = \pi/2 - \arctan\left(\frac{L\omega}{R}\right)$$

2) La fonction  $u_e(t)$  est définie par :  $t \in ]0, T[ : u_e(t) = \frac{E}{T} t$ .

$$\frac{A_{0e}}{2} = \frac{1}{T} \int_0^T u_e(t) dt = \frac{1}{T} \int_0^T \frac{E}{T} t dt = \frac{E}{T^2} \left[ \frac{t^2}{2} \right]_0^T = \frac{E}{2}$$

$$A_{ne} = \frac{2}{T} \int_0^T \frac{E}{T} t \cdot \cos(n\omega t) dt$$

$A_{ne}$  se calcule par intégration par parties, en posant :

$$\begin{cases} v(t) = \frac{E}{T} t \\ w'(t) = \cos(n\omega t) \end{cases} \text{ soit } \begin{cases} v'(t) = \frac{E}{T} \\ w(t) = \frac{1}{n\omega} \sin(n\omega t) \end{cases} \quad \text{Sachant que } \omega T = 2\pi :$$

$$A_{ne} = \frac{2}{T} \left[ \frac{E}{n\omega T} t \cdot \sin(n\omega t) \right]_0^T - \frac{2}{T} \int_0^T \frac{E}{n\omega T} \sin(n\omega t) dt = 0$$

$$B_{ne} = \frac{2}{T} \int_0^T \frac{E}{T} t \cdot \sin(n\omega t) dt \quad \text{Par intégration par parties, on obtient :}$$

$$B_{ne} = \frac{2}{T} \left[ -\frac{E}{n\omega T} t \cdot \cos(n\omega t) \right]_0^T + \frac{2}{T} \int_0^T \frac{E}{n\omega T} \cos(n\omega t) dt = -\frac{E}{n\pi}$$

Les paramètres  $C_{ne}$  et  $\varphi_{ne}$  se déduisent des relations :

$$C_{ne} = \sqrt{A_{ne}^2 + B_{ne}^2} \quad \text{et} \quad \varphi_{ne} = \arccos\left(\frac{A_{ne}}{C_{ne}}\right).$$

Finalement :

$$C_{0e} = \frac{E}{2}$$

$$C_{ne} = \frac{E}{n\pi}$$

$$\varphi_{0e} = 0$$

$$\varphi_{ne} = \pi/2.$$

3) Le tableau ci-dessous regroupe les valeurs approchées de  $C_{ne}$ ,  $\varphi_{ne}$ ,  $G_n$ ,  $\theta_n$ ,  $C_{ns}$  et  $\varphi_{ns}$  pour les premières valeurs de  $n$ , avec  $\omega = 2\pi/T = 100\pi \text{ rad.s}^{-1}$  et compte tenu des relations suivantes :

$$C_{ns} = G_n \cdot C_{ne}$$

et :

$$\varphi_{ns} = \varphi_{ne} + \theta_n$$

n	$C_{ne}$	$\varphi_{ne}$ (rad)	$G_n$	$\theta_n$ (rad)	$C_{ns}$	$\varphi_{ns}$ (rad)
0	0,5E	0	0	1,57	0	1,57
1	0,318E	1,57	0,532	1,01	0,169E	2,58
2	0,159E	1,57	0,782	0,672	0,124E	2,24
3	0,106E	1,57	0,883	0,488	0,094E	2,06
4	0,080E	1,57	0,929	0,379	0,074E	1,95
5	0,064E	1,57	0,953	0,308	0,061E	1,88
6	0,053E	1,57	0,967	0,259	0,051E	1,83
7	0,045E	1,57	0,975	0,224	0,044E	1,79
8	0,040E	1,57	0,981	0,196	0,039E	1,77
9	0,035E	1,57	0,986	0,175	0,035E	1,74
10	0,032E	1,57	0,988	0,158	0,032E	1,73

Autrement dit :

$$u_s(t) = 0,169E \cos(\omega t + 2,58) + 0,124E \cos(2\omega t + 2,24) + 0,094E \cos(3\omega t + 2,06) + \text{etc...}$$

La composante continue (valeur moyenne) est coupée. Les autres contributions sont d'autant plus atténuées et déphasées que  $n$  est faible, ce qui confirme le caractère passe-haut du filtre.

## Exercices d'évaluation

### Exercice 6 : spectre de décomposition de Fourier

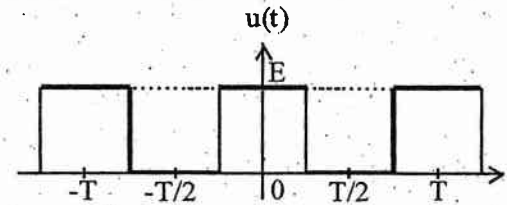
Donner le spectre de décomposition de Fourier de la tension :

$$u(t) = E \cos[(\omega_0 - a)t] \cdot \cos[(\omega_0 + a)t] \quad (a < \omega_0).$$

*Indication* : penser aux transformations trigonométriques produit  $\rightarrow$  somme.

### Exercice 7 : coefficients de Fourier d'une tension carrée

Calculer les coefficients de la décomposition en série de Fourier de la tension carrée  $u(t)$  représentée ci-dessous.



### Exercice 8 : coefficients de Fourier d'une tension de sortie

Le spectre de décomposition de Fourier d'une tension est constitué de quatre segments d'égale amplitude 1V pour les pulsations  $0 \text{ rad.s}^{-1}$ ,  $10^{-2}\omega_0$ ,  $\omega_0$  et  $100\omega_0$ ,  $\omega_0$  étant une pulsation constante.

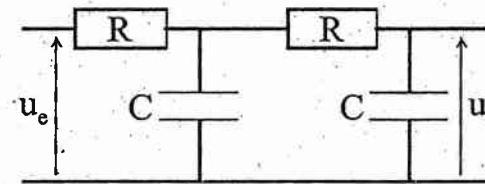
Cette tension est appliquée à l'entrée d'un filtre dont la fonction de transfert vaut :

$$H = \frac{j\omega / \omega_0}{1 + j\omega / \omega_0}$$

Déterminer les coefficients  $C_s$  de la décomposition de Fourier de la tension de sortie du filtre. En déduire une qualification du filtre.

### Exercice 9 : filtre en cascade

Déterminer la fonction de transfert  $H(j\omega)$  du filtre en cascade ci-dessous fonctionnant en régime sinusoïdal forcé de pulsation  $\omega$ . Qualifier le filtre.



*Indication* : on pourra utiliser deux ponts diviseurs de tension appliqués à des dipôles en série judicieusement choisis.

## Solutions des exercices d'évaluation

### Exercice 6 :

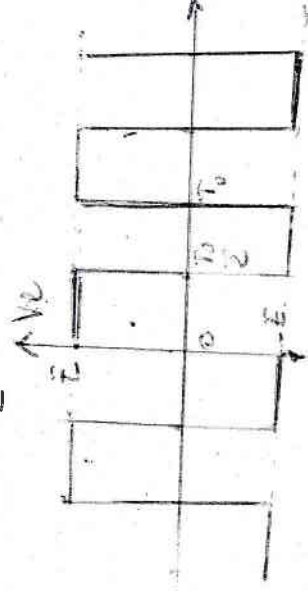
$$u(t) = \frac{E}{2} \cos(2at) + \frac{E}{2} \cos(2\omega_0 t)$$

### Exercice 4 : opération sur les signaux.

1. signal carré, d'amplitude crête à crête  $2E$ , période  $T$ .

• pour  $0 \leq t \leq \frac{T}{2}$ ;  $v_e(t) = E$ .

• pour  $\frac{T}{2} \leq t \leq T$ ;  $v_e(t) = -E$ .



$$a_0 = \frac{1}{T} \int_{-T/2}^{T/2} v_e(t) dt$$

$$= \frac{E}{T} \left\{ \int_{-T/2}^0 dt + \int_0^{T/2} dt \right\}$$

$$= \frac{E}{T} \left\{ -[t]_{-T/2}^0 + [t]_{0}^{T/2} \right\}$$

$$a_0 = 0 \quad v_e(t) = -v_e(-t) \Rightarrow a_n = 0$$

$$b_n = \frac{2E}{T} \int_{-T/2}^{T/2} -\sin n\omega t dt + \int_0^{T/2} \sin n\omega t dt$$

$$= + \frac{2E}{T n \omega} \left\{ \left[ \cos n\omega t \right]_{-T/2}^0 - \left[ \cos n\omega t \right]_0^{T/2} \right\}$$

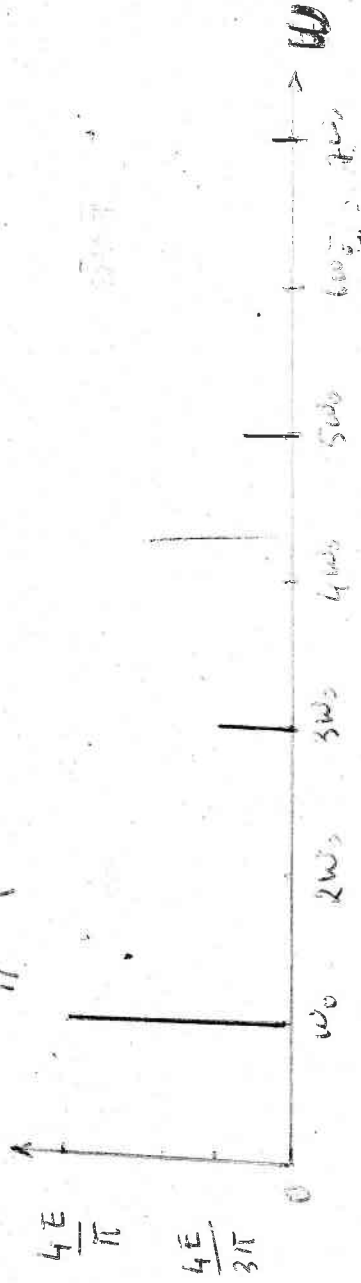
$$= \frac{2E}{2\pi n} \left[ 1 - \cos n\pi - \cos n\pi + 1 \right] = \frac{4E}{2\pi n} (1 - \cos n\pi)$$

$$b_{2p} = 0$$

$$b_{2p+1} = \frac{4E}{\pi(2p+1)}$$

$$v_e = \frac{4E}{\pi} \sum_{p=0}^{+\infty} \frac{1}{2p+1} \sin(2p+1)\omega t$$

$$v_e(t) = \frac{4E}{\pi} \left( \sin \omega t + \frac{1}{3} \sin 3\omega t + \frac{1}{5} \sin 5\omega t + \dots \right)$$



Aspecte d'amplitude

1-5. Transmisson temporelle

$$v_s(t) = v_e(t - \theta)$$

$$\theta = \frac{L}{v}$$
 Expression de  $v_s(t)$

$$0 \leq t - \theta \leq \frac{T}{2} \quad v_s(t) = v_e(t - \theta) = E$$

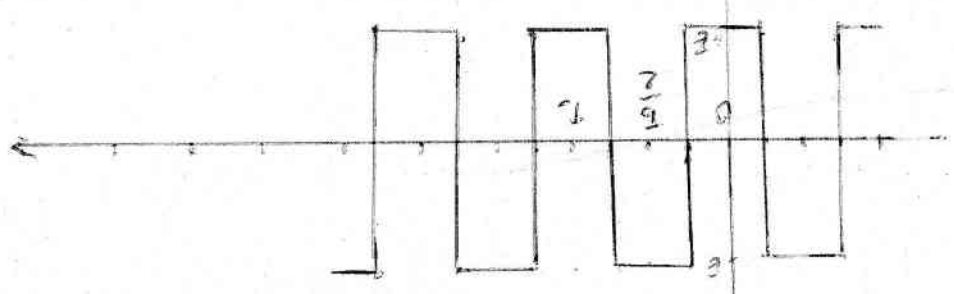
$$\theta \leq t \leq \frac{T}{2} + \theta \quad v_s(t) = E$$

$$\frac{T}{4} \leq t \leq \frac{3T}{4} \quad v_s(t) = E \quad (*)$$

$$\frac{T}{2} \leq t - \theta \leq T \quad v_s(t) = v_e(t - \theta) = -E$$

$$\frac{3T}{4} \leq t \leq \frac{5T}{4} \quad v_s(t) = -E$$

$$v_s = \begin{cases} E & \text{pour } \frac{T}{4} \leq t \leq \frac{3T}{4} \\ -E & \text{pour } \frac{3T}{4} \leq t \leq \frac{5T}{4} \end{cases}$$



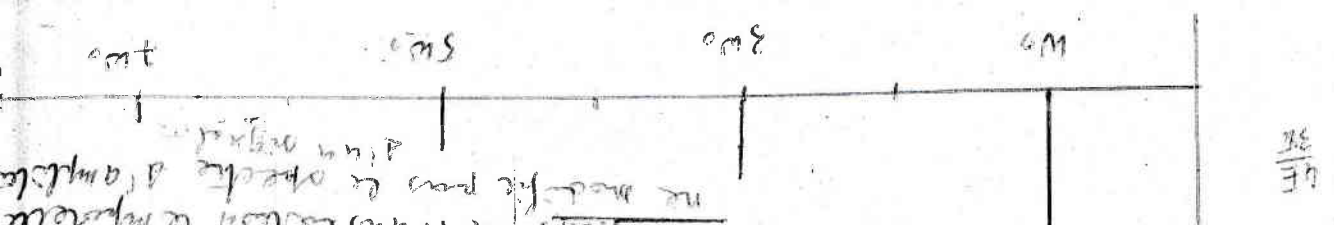
on en deduit le developpement en serie de Fourier de  $v_s(t)$

$$v_s(t) = \frac{4E}{\pi} \left\{ \sin\left(\frac{\pi}{4}t - \frac{\pi}{4}\right) + \frac{1}{3} \sin\left(\frac{3\pi}{4}t - \frac{3\pi}{4}\right) + \frac{1}{5} \sin\left(\frac{5\pi}{4}t - \frac{5\pi}{4}\right) + \dots \right\}$$

$$v_s(t) = \frac{4E}{\pi} \left\{ -\cos\omega_0 t + \frac{1}{3} \cos 3\omega_0 t - \frac{1}{5} \cos 5\omega_0 t + \dots \right\}$$

on retrouve le meme spectre d'amplitude que pour  $v_e(t)$ .

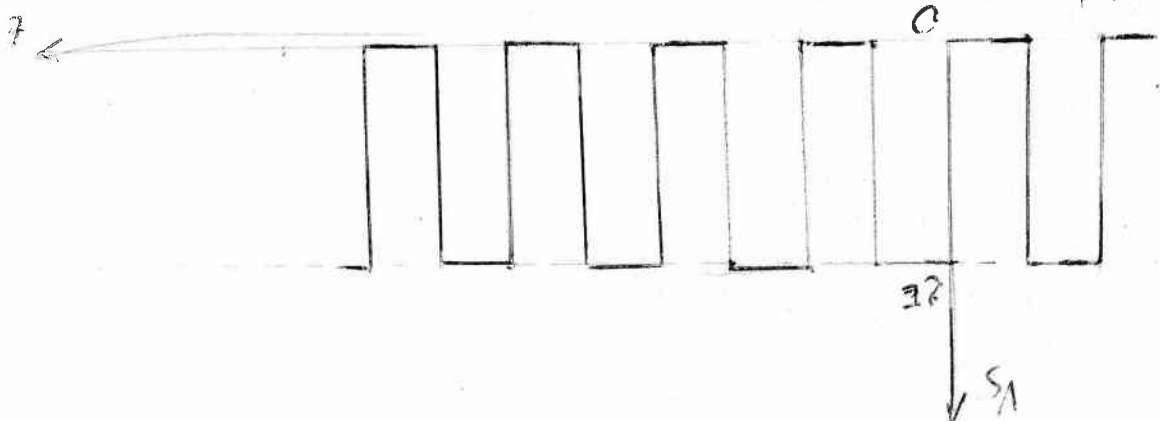
conclusion: une transmission temporelle ne modifie pas le spectre d'amplitude d'un signal.



1-c. Transition de niveau

$$V_s(t) = V_2(t) + E$$

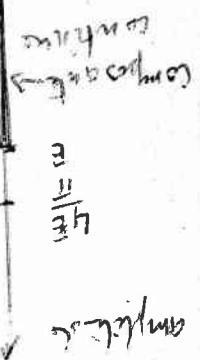
$$V_s = \begin{cases} 2E & \text{pour } 0 \leq t \leq \frac{T}{2} \\ 0 & \text{pour } \frac{T}{2} \leq t < T \end{cases}$$



on obtient :

$$V_s(t) = E + \frac{4E}{\pi} \sin \omega t + \frac{3}{4} \sin 3\omega t + \frac{1}{5} \sin 5\omega t + \dots$$

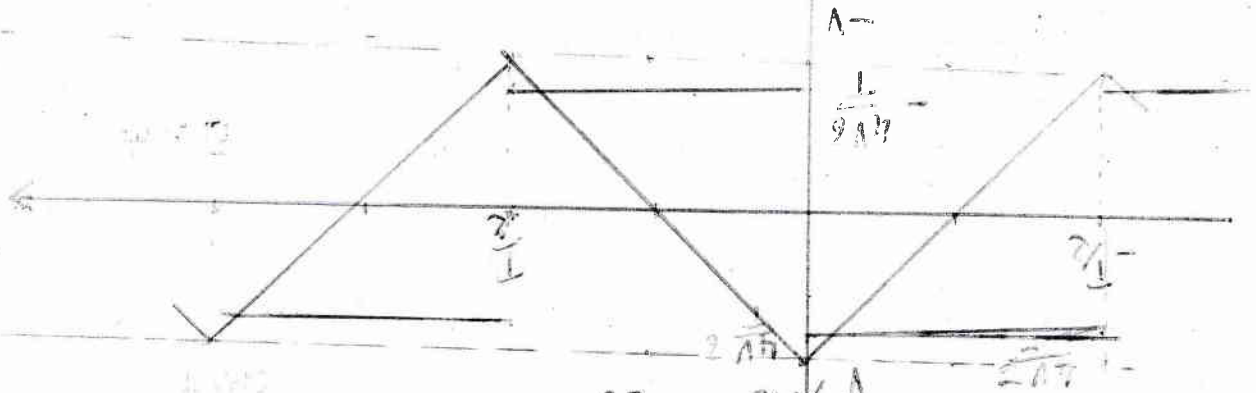
spectre d'amplitude (à part)



$\omega_0$      $3\omega_0$      $5\omega_0$      $7\omega_0$

Conclusion : une transition de niveau modifie uniquement la composante continue pour le spectre d'amplitude d'un signal

2- dérivation :  $V_s(t) = 2 \frac{dV_e}{dt}$



$$* t \in \left[-\frac{T_0}{2}, 0\right] \quad v_e = at + b = at + v$$

$$t = -\frac{T_0}{2} \quad v_e = -v = -a\frac{T}{2} + v \Rightarrow -2v = -a\frac{T}{2}$$

$$a = \frac{4v}{T} \Rightarrow v_e(t) = \frac{4v}{T}t + v$$

$$* t \in \left[0, \frac{T_0}{2}\right] \quad v_e(t) = a't + b' = a't + v$$

$$v\left(\frac{T_0}{2}\right) = -v = d\frac{T}{2} + v \Rightarrow d = -\frac{4v}{T}$$

$$v_e(t) = -\frac{4v}{T}t + v$$

$$v_e = \begin{cases} \frac{4v}{T}t + v & \text{pour } t \in \left[-\frac{T}{2}, 0\right] \\ -\frac{4v}{T}t + v & \text{pour } t \in \left[0, \frac{T}{2}\right] \end{cases}$$

$$v_s(t) = \begin{cases} \frac{4vz}{T} & \text{pour } t \in \left[-\frac{T}{2}, 0\right] \\ -\frac{4vz}{T} & \text{pour } t \in \left[0, \frac{T}{2}\right] \end{cases}$$

Série de Fourier de  $v_e$ .

$$\begin{aligned} a_0 &= \frac{1}{T} \int_{-\frac{T_0}{2}}^0 v_e(t) dt + \frac{1}{T} \int_0^{\frac{T_0}{2}} v_e dt \\ &= \frac{1}{T} \left\{ \int_{-\frac{T}{2}}^0 \left( \frac{4v}{T}t + v \right) dt + \int_0^{\frac{T}{2}} \left( -\frac{4v}{T}t + v \right) dt \right\} \\ &= \frac{1}{T} \left\{ \left[ \frac{2v}{T}t^2 + vt \right]_{-\frac{T}{2}}^0 + \left[ -\frac{2v}{T}t^2 + vt \right]_0^{\frac{T}{2}} \right\} \\ &= \frac{1}{T} \left( -\frac{vT^2}{2T} + \frac{vT}{2} \right) + \left( -\frac{vT^2}{2T} + \frac{vT}{2} \right) \\ &= 0 \end{aligned}$$

$$v_e \text{ fonction paire} \Rightarrow b_n = 0$$

$$a_n = \frac{4}{T} \int_{-\frac{T}{2}}^{\frac{T}{2}} v_e(t) \cos(n\omega t) dt$$

$$a_n = \frac{4}{T} \int_0^{T/2} \left( -\frac{4V}{T} t + V \right) \cos n\omega t \, dt \quad (7)$$

$$= -\frac{16V}{T^2} \int_0^{T/2} t \cos n\omega t \, dt + \frac{4V}{T} \int_0^{T/2} \cos n\omega t \, dt$$

$$J = \int_0^{T/2} \cos n\omega t \, dt = \frac{1}{n\omega} \left[ \sin n\omega t \right]_0^{T/2} = \frac{1}{n\omega} (\sin n\omega \frac{T}{2} - 0)$$

$$J = 0$$

$$I = \int_0^{T/2} t \cos n\omega t \, dt$$

$$v = t \rightarrow v' = dt$$

$$u' = \cos n\omega t \rightarrow u = \frac{1}{n\omega} \sin n\omega t$$

$$(uv)' = u'v + uv' \Rightarrow u'v = (uv)' - uv'$$

$$I = \frac{1}{n\omega} \left[ t \sin n\omega t \right]_0^{T/2} - \frac{1}{n\omega} \int_0^{T/2} \sin n\omega t \, dt$$

$$I = \frac{1}{(n\omega)^2} \left[ \cos n\omega t \right]_0^{T/2} = \frac{1}{(n\omega)^2} (\cos n\pi - 1)$$

$$I = \frac{1}{(n\omega)^2} ((-1)^n - 1) = \frac{-1}{(n\omega)^2} (1 - (-1)^n)$$

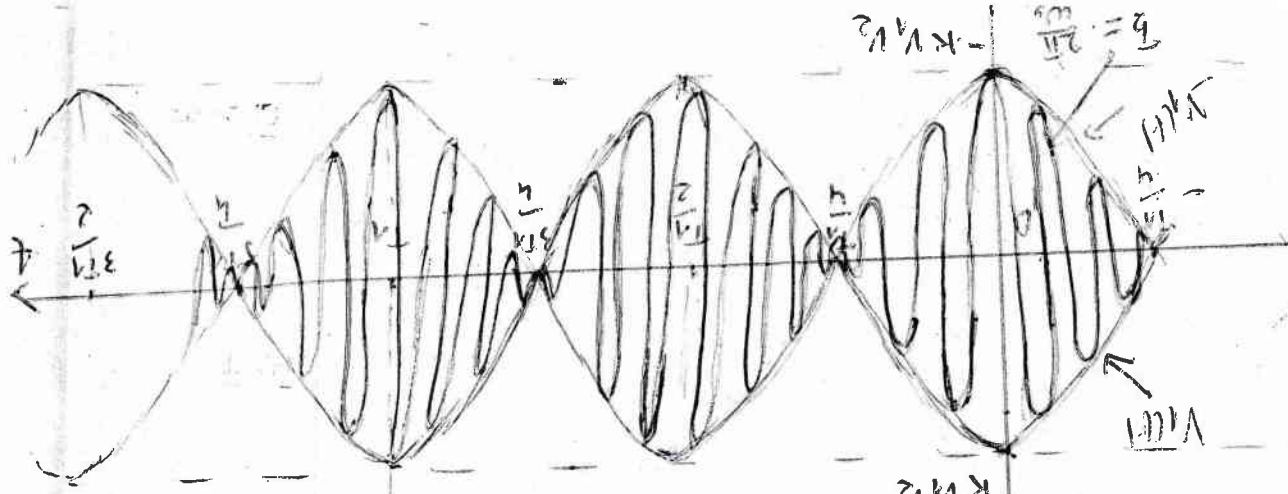
$$a_n = \frac{16V}{(T\omega)^2 n^2} (1 - (-1)^n) = \frac{16V}{4\pi^2 n^2} (1 - (-1)^n)$$

$$a_n = \frac{4V}{\pi^2 n^2} (1 - (-1)^n)$$

$$a_{2p} = 0 \quad \text{and} \quad a_{2p+1} = \frac{8V}{\pi^2 (2p+1)^2}$$

$$V_s(t) = \frac{8V}{\pi^2} \sum_{p=0}^{\infty} \frac{1}{(2p+1)^2} \cos(2p+1)\omega t$$

$$V_s(t) = \frac{4V}{\pi^2} \sum_{p=0}^{\infty} \frac{1}{2p+1} \sin(2p+1)\omega t$$



$V_s(t) = (KVA V_2 \cos \omega t) \cos \omega t$   
 $T_A = \frac{1}{\omega t}$   
 avec  $\omega_2 \gg \omega_1$

3- Transposition fréquentielle.  $V_s(t) = KVA(t) \cdot V_2(t)$   
 Développement en série de Fourier du signal  $v_s(t)$   
 en notation bien, en multipliant par  $-1$ , de

$$V_s(t) = \sum_{p=0}^{+\infty} \frac{4E}{\pi} \frac{1}{2p+1} \sin(2p+1)\omega t$$

on en déduit pour  $V_s(t)$   
 $V_s(t) = -\frac{8V}{\pi^2} \times \frac{ET}{4V} \times \sum_{p=0}^{+\infty} \frac{1}{2p+1} \sin(2p+1)\omega t$

$$\boxed{2 = \frac{ET}{4V}}$$

$$8V2\omega = \frac{\pi^2}{16V2} = \frac{\pi^2}{4E}$$

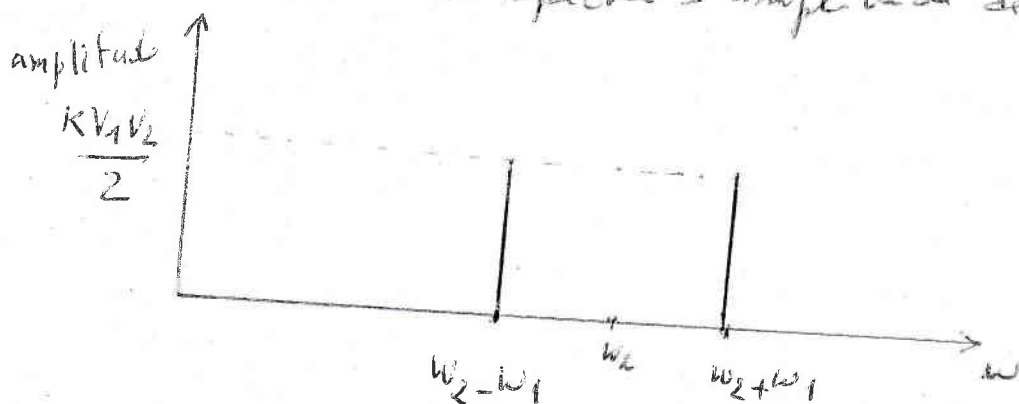
tout obtenir un signal carré côté à côté  $2E$ , il faut

$$V_s(t) = -\frac{8V2\omega}{\pi^2} \left[ \sin \omega t + \frac{1}{3} \sin 3\omega t + \frac{1}{5} \sin 5\omega t + \dots \right]$$

D'autre part, on peut écrire  $V_S(t)$  sous la forme :

$$V_S(t) = \frac{KV_1V_2}{2} [\cos(\omega_2 - \omega_1)t + \cos(\omega_2 + \omega_1)t]$$

On en déduit le spectre d'amplitude de  $V_S(t)$



b) d'après la table des développements en série de Fourier

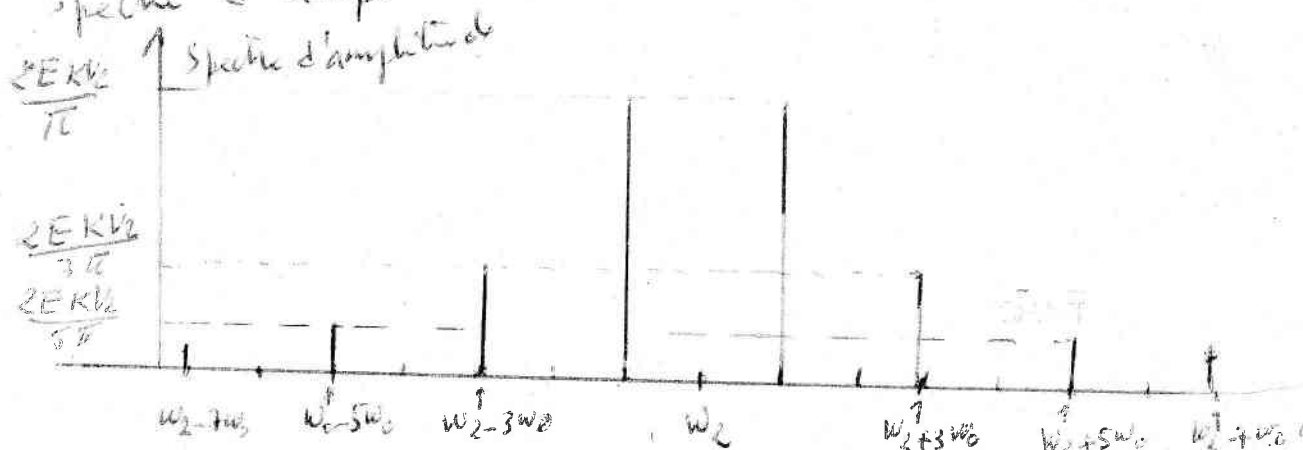
on a :  $v_1(t) = \frac{4E}{\pi} \sum_{p=0}^{+\infty} \frac{1}{2p+1} \sin(2p+1)\omega_2 t$

$$V_S(t) = K v_1(t) v_2(t)$$

$$V_S(t) = \frac{4E}{\pi} \times K v_2 \sum_{p=0}^{+\infty} \frac{1}{2p+1} \sin(2p+1)\omega_2 t \times \cos \omega_2 t$$

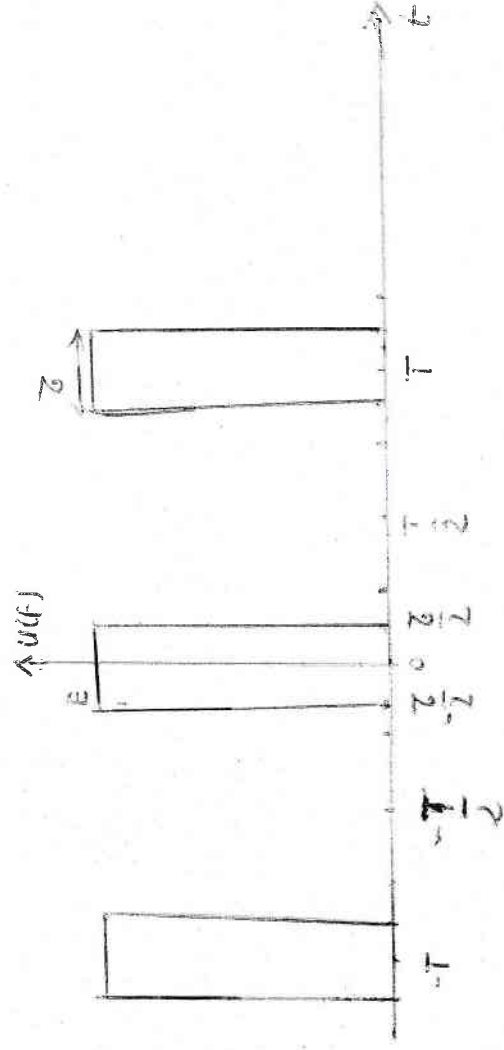
$$V_S(t) = \frac{2EKv_2}{\pi} \sum_{p=0}^{+\infty} \frac{1}{2p+1} \left\{ \begin{array}{l} \sin(\omega_2 + (2p+1)\omega_2)t \\ - \sin(\omega_2 - (2p+1)\omega_2)t \end{array} \right\}$$

Spectre d'amplitude.



On retrouve de part et d'autre de  $\omega_2$ , le spectre d'amplitude du spectre porte.

EXERCICE 5 Signal rectangulaire impulsionnel pair (9)



$$\alpha = \frac{T}{T}$$

1) Détermination des coefficients

$$a_0 = \frac{1}{T} \int_{-T/2}^{T/2} u(t) dt = \frac{1}{T} \int_{-T/2}^{T/2} E dt = \frac{E}{T} \left( \frac{T}{2} + \frac{T}{2} \right)$$

$$a_0 = E \frac{T}{T} = \alpha E$$

$u(t)$  est paire  $\Rightarrow b_n = 0$

$$n \geq 1 \quad a_n = \frac{2}{T} \int_{-T/2}^{T/2} u(t) \cos n\omega t dt = \frac{2}{T} \int_{-T/2}^{T/2} E \cos n\omega t dt = \frac{2E}{T n \omega} \left[ \sin n\omega t \right]_{-T/2}^{T/2}$$

$$a_n = \frac{E}{\pi n} \left( \sin n \omega \frac{T}{2} - \sin -n \omega \frac{T}{2} \right) = \frac{2E}{\pi n} \sin n \left( \omega \frac{T}{2} \right)$$

$$a_n = \frac{2E}{\pi n} \sin \left( n \frac{\omega T}{2} \right)$$

$$a_n = \frac{2E}{\pi n} \sin(n\pi\alpha)$$

2. Montrons que les harmoniques paires s'annulent à l'exception de l'ordre 0 pour un signal carré

$$\alpha = \frac{1}{2} \quad \Rightarrow \quad \alpha = \frac{T}{2}$$

$$a_n = \frac{2E}{\pi n} \sin \left( n \frac{\pi}{2} \right)$$

$$a_0 = \frac{1}{2} E$$

$$a_{2p} = \frac{2E}{\pi n} \sin(p\pi) = 0$$

Autres valeurs de  $\alpha$  pour lesquelles  $a_n = 0$ .

$$a_n = \frac{2E}{jn} \sin(n\alpha\pi) = 0 \Rightarrow n\alpha\pi = k\pi \quad k \in \mathbb{Z}^*$$

$$\Rightarrow \boxed{\alpha = \frac{k}{n}}$$

3. Commentaire de l'évolution des coefficients

$$a_n = 2E\alpha \times \frac{\sin(n\alpha\pi)}{n\alpha\pi}$$

$$\text{quand } \alpha \rightarrow 0 \quad \frac{\sin(n\alpha\pi)}{n\alpha\pi} = \text{sinc}(n\alpha\pi) \rightarrow 1$$

$$\text{d'où } a_n = 2\alpha E$$

Donc au fur et à mesure que  $\tau$  diminue, les coefficients des harmoniques tendent vers la même valeur  $2\alpha E$ , double de la valeur de la composante continue.

Exercice 6 : spectre d'un signal modulé  
 sinusoidalement en amplitude de

signal porteur  $f_p \ll f_m$

signal modulé  $f_m \ll f_p$

$$S_p(t) = A_p \cos(2\pi f_p t)$$

1. détermination de m. Signal modulé

Après la modulation, on a  $S(t) = S_p(t) + k_s m(t)$

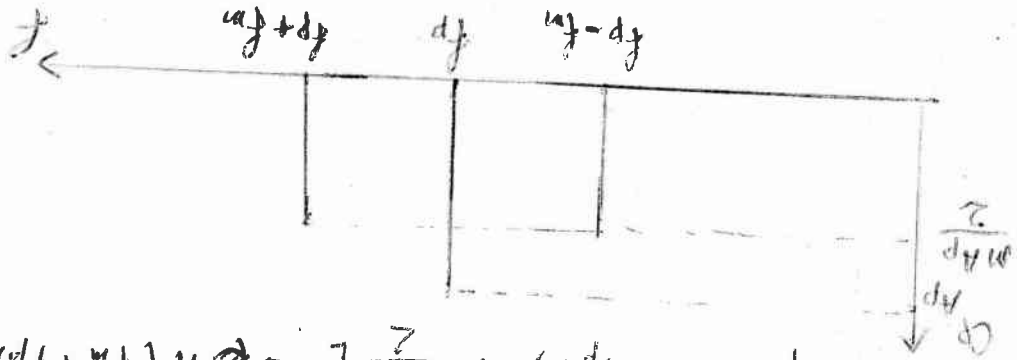
$$S(t) = A_p [1 + k_s m(t)] = A_p [1 + k_s A_m \cos(2\pi f_m t)] \cos(2\pi f_p t)$$

$$\Rightarrow m = k A_m$$

2. spectre de  $S(t)$

$$S(t) = A_p \cos(2\pi f_p t) + m A_p \cos(2\pi f_m t) \cos(2\pi f_p t)$$

$$S(t) = A_p \cos(2\pi f_p t) + \frac{m A_p}{2} [\cos(2\pi(f_p + f_m)t) + \cos(2\pi(f_p - f_m)t)]$$



la base

Le spectre comprend trois raies,  $[f_p, A_p]$

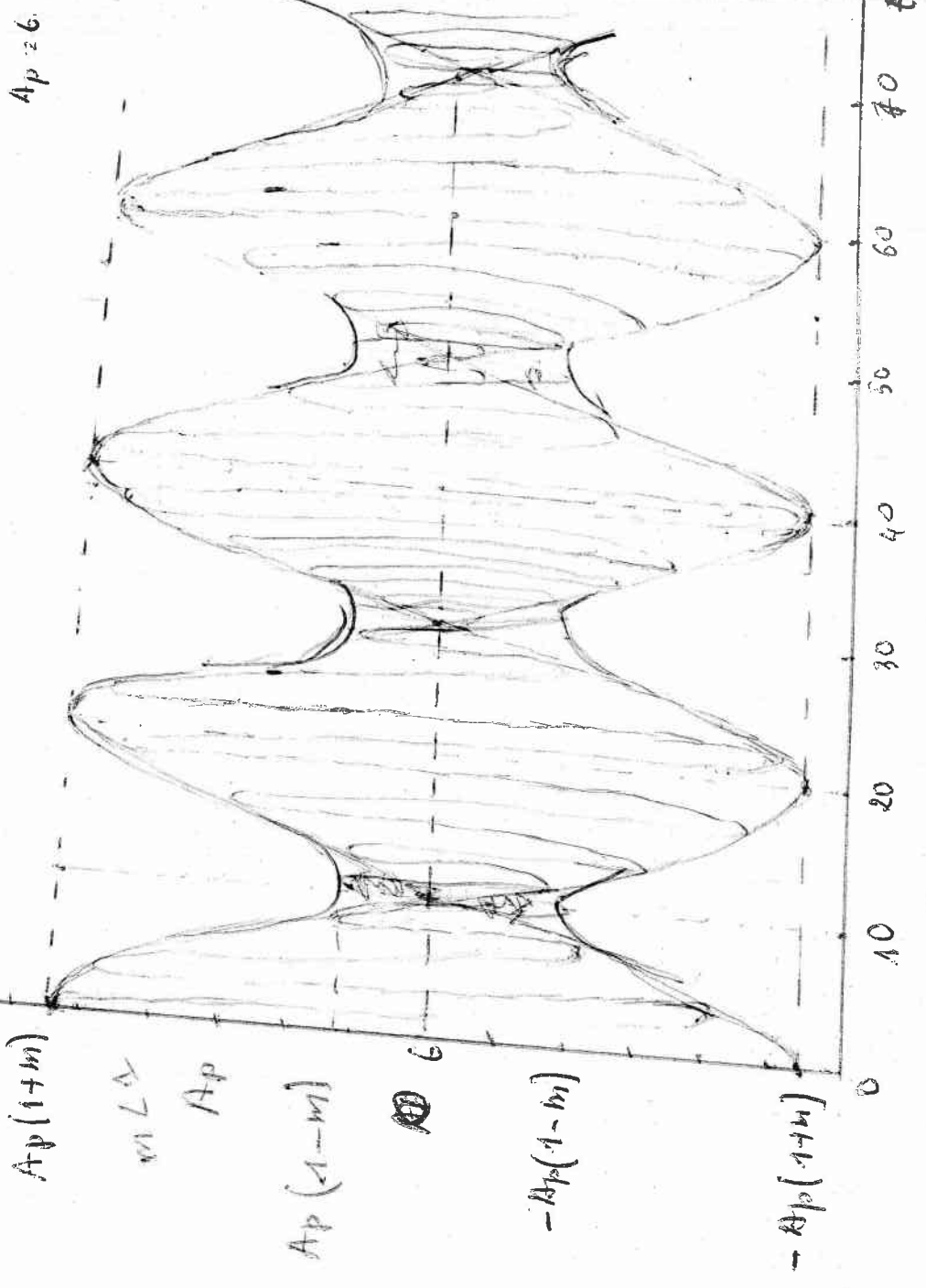
de la portance et deux raies  $[f_p - f_m, \frac{m A_p}{2}]$ ,  $[f_p + f_m, \frac{m A_p}{2}]$

3- Allure du signal modulé pour un indice de modulation  $m < 1$  ; par exemple  $m = 0.9$

$f_p = 1 \text{ MHz}$  ; par exemple  $f_p = 1 \text{ MHz}$

$$f_m = 2 \times 10^4 \text{ Hz}$$

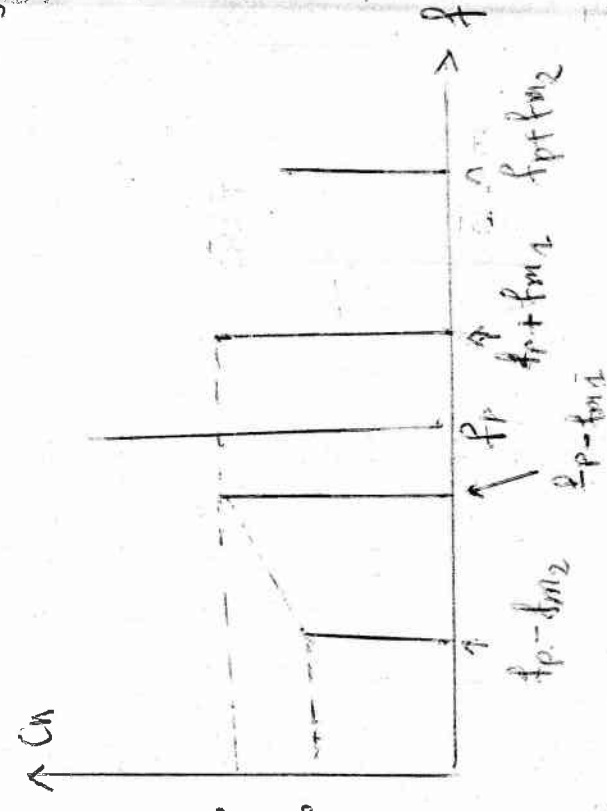
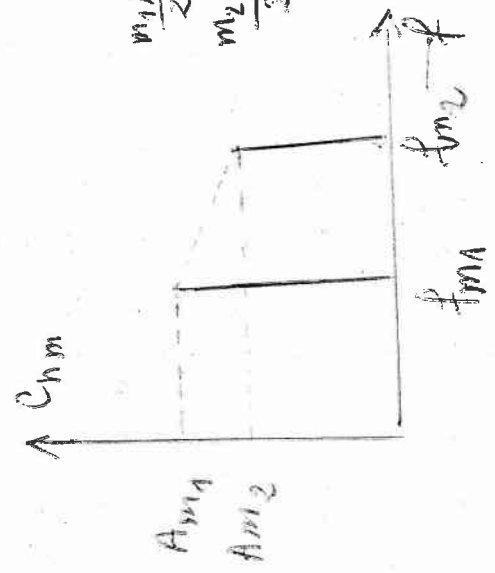
L' amplitude du signal  $s(t)$ ,  $A_p(1+m \cos 2\pi f_m t)$   
 Varie entre  $A_p(1+m)$  et  $A_p(1-m)$  au rythme du  
 signal modulant  $S_m(t) = A_m \cos(2\pi f_m t)$  avec un  
 indice de modulation  $m = 0,9$  et  $\frac{f_p}{f_m} = 40$ .



4- Bande passante nécessaire à la transmission

$$S(t) = A_p \cos 2\pi f_p t + \frac{m A_p}{2} [\cos 2\pi (f_p + f_m) t + \cos 2\pi (f_p - f_m) t]$$

Signal modulant



Chaque fréquence  $f_m$  du spectre audio. (11)  
 sont associées trois raies dans le spectre du  
 signal modulé dont les fréquences sont respectivement

$f_p$ ,  $f_p + f_m$  et  $f_p - f_m$ . Il en résulte que la bande  
 de fréquence nécessaire à la transmission du

signal s'étend de  $f_p - f_m$  à  $f_p + f_m = 1 - 4,5 \cdot 10^3$  à  $0,9955$  MHz

à  $f_p + f_m = 1 + 4,5 \cdot 10^3 = 1,0045$  MHz

BP = [0,9955, 1,0045] MHz.

5- le signal délivré par le multiplicateur s.t

$$S'(t) = k' s(t) s_p(t) =$$

$$S'(t) = \frac{k' A_p A_p}{2} (1 + m \cos(2\pi f_m t)) \cos^2(2\pi f_p t)$$

$$= \frac{k' A_p A_p}{2} (1 + m \cos(2\pi f_m t)) (1 + \cos(2\omega_p t))$$

$$= \frac{k' A_p A_p}{2} \left[ (1 + m \cos(\omega_m t)) + (1 + m \cos(\omega_m t)) \cos(2\omega_p t) \right]$$

$$= \frac{k' A_p A_p}{2} \left[ 1 + m \cos(\omega_m t) + \cos(2\omega_p t) + m \cos(\omega_m t) \cos(2\omega_p t) \right]$$

$$S''(t) = \frac{k' A_p A_p}{2} \left[ 1 + \cos(\omega_m t) + \cos(2\omega_p t) \right]$$

$$+ \frac{m}{2} \cos(2\omega_p - \omega_m)t + \frac{m}{2} \cos(2\omega_p + \omega_m)t$$

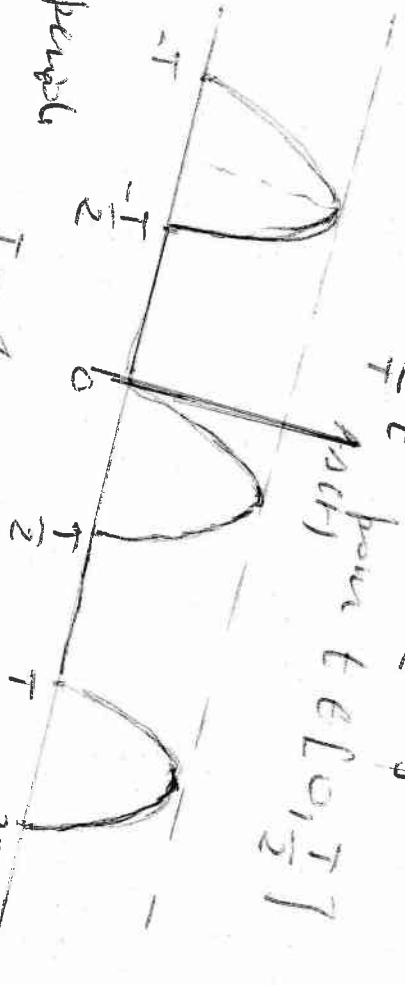
les fréquences ( $2f_p \pm f_m$ ) étant supérieures à  $f_p$  ( $f_p \gg f_m$ )  
 on obtient par filtrage passe-bas le signal :

$$S''(t) = \frac{k' A_p A_p}{2} (1 + m \cos(\omega_m t))$$

Le signal  $S''(t)$  est appliqué à l'entrée d'un  $\dots$   
amplificateur basse fréquence <sup>à par l'intégration d'un condensateur</sup> ( $\omega < 30 \text{ kHz}$ ), ce qui <sup>vous</sup> élimine la composante continue et fournit le signal demodulé:  $S_d(t) = \frac{K' m(t) A_p'}{2} \cos(\omega_m t)$ .

La composante continue, obtenue par filtrage  
basse-bas de  $S''(t)$ , est proportionnelle à  
l'amplitude à l'amplitude du signal demodulé.  
cette propriété est utilisée pour la commande  
d'un circuit contrôlant le gain de l'amplificateur  
basse fréquence. (Circuit de commande automatique  
du gain ou C.A.G.).

1.  $\Delta(t) = \begin{cases} 0 & \text{pour } t \in [-T, 0] \\ E \sin \frac{2\pi t}{T} & \text{pour } t \in [0, T] \end{cases}$



2) 1er pulse  
 $T = \frac{1}{f} = \frac{1}{50} = 0.02 \text{ s}$  or  $\omega = \frac{2\pi}{T} = 200\pi$   
 $w = 100\pi \text{ rad/s}$   
 $f = 314,16 \text{ rad/s}$

3) - Defe developpement en série de Fourier.  
 $G_0 = \frac{1}{T} \int_0^{T/2} \sin(wt) dt = -\frac{E}{wT} [\cos wt]_0^{T/2}$

$$= \frac{E}{2\pi} (1 - \cos \pi) = \frac{E}{\pi}$$

$$n \geq 1 \quad G_n = \frac{2E}{T} \int_0^{T/2} \sin(nwt) e^{-jnt} dt$$

$$\sin \theta = \frac{e^{j\theta} - e^{-j\theta}}{2j}$$

$$G_n = \frac{2E}{2jT} \int_0^{T/2} (e^{jwnt(1-n)} - e^{-jwnt(1+n)}) dt$$

$$G_n = \frac{2E}{2jT} \times \frac{1}{jw} \left[ \frac{1}{1-n} e^{jw(1-n)t} + \frac{1}{1+n} e^{-jw(1+n)t} \right]_{0}^{T/2}$$

$$= \frac{-2E}{2Tjw} \left[ \frac{1}{1-n} e^{j\pi(1-n)} + \frac{1}{1+n} e^{-j\pi(1+n)} \right]$$

$$G_n = \frac{-2E}{2 \cdot \pi} \left( \frac{1}{1-n} \cos((1-n)\pi) + \frac{1}{1+n} \cos((1+n)\pi) \right)$$

$$= - \left( \frac{1}{1-n} + \frac{1}{1+n} \right)$$

\* pour  $n$  impair.  $\Rightarrow n = 2p + 1$

$$C_{2p+1} = \frac{-E}{2\pi} \left( \frac{-1}{2p} + \frac{1}{2(p+1)} + \frac{1}{2p} - \frac{1}{2(p+1)} \right)$$

$$C_{2p+1} = 0 \Rightarrow a_{2p+1} = b_{2p+1} = 0$$

\* pour  $n$  pair,  $n = 2p$

$$1 - n = 1 - 2p \text{ impair}$$

$$1 + n = 1 + 2p \text{ impair}$$

$$C_{2p} = \frac{-E}{2\pi} \left( \frac{-1}{1-2p} - \frac{1}{2p+1} - \frac{1}{1-2p} - \frac{1}{2p+1} \right)$$

$$= \frac{E}{\pi} \left( \frac{1}{1-2p} + \frac{1}{2p+1} \right) = \frac{E}{\pi} \left( \frac{2p+1 + 1-2p}{1-4p^2} \right)$$

$$C_{2p} = \frac{2E}{\pi(1-4p^2)}$$

$$a_{2p} = \frac{2E}{\pi(1-4p^2)} \quad b_{2p} = 0$$

\*  $n = 1$

$$C_1 = \frac{2E}{T} \int_0^{T/2} \sin(\omega t) e^{-j\omega t} dt = \frac{2E}{T} \int_0^{T/2} \frac{e^{j\omega t} - e^{-j\omega t}}{2j} \cdot e^{-j\omega t} dt$$

$$C_1 = \frac{E}{jT} \int_0^{T/2} (1 - e^{-2j\omega t}) dt = \frac{E}{jT} \left[ t + \frac{1}{2j\omega} e^{-2j\omega t} \right]_0^{T/2}$$

$$= \frac{E}{jT} \left( \frac{T}{2} + \frac{1}{2j\omega} (e^{-2\pi j} - 1) \right)$$

$$= \frac{E}{2j} = -\frac{jE}{2} \Rightarrow a_1 = 0 \quad b_1 = \frac{E}{2}$$

$$* f(t) = E \left( \frac{1}{\pi} + \frac{1}{2} \sin \omega t - \frac{2}{\pi} \sum_{p=1}^{+\infty} \frac{\cos(2p\omega t)}{4p^2 - 1} \right)$$

### 3 - Facteur de forme F et taux d'ondulation $\delta_0$

Facteur de Forme

$$F = \frac{\sqrt{A_0^2 + A_0}}{A_0} = \frac{X_{\text{eff}}}{\langle x(t) \rangle}$$

$$\begin{aligned} \omega^2 x &= \omega^2 x - \sin^2 x \\ &= 1 - 2 \sin^2 x \\ \sin^2 x &= \frac{1}{2}(1 - \cos) \end{aligned}$$

$$\langle x(t) \rangle = \frac{E}{\pi}$$

$$\langle x^2(t) \rangle = \frac{1}{T} \int_0^T E^2 \sin^2 \frac{2\pi}{T} t dt$$

$$= \frac{1}{T} \times \frac{T}{2} \int_0^{T/2} \frac{E^2}{T} \int_0^{T/2} \frac{1}{2} (1 - \cos \frac{4\pi}{T} t) dt$$

$$= \frac{E^2}{2T} \left[ t - \frac{T}{4\pi} \sin \frac{4\pi}{T} t \right]_0^{T/2}$$

$$= \frac{E^2}{2T} \left( \frac{T}{2} \right) = \frac{E^2}{4T}$$

$$A_{\text{eff}} = \sqrt{\langle x^2(t) \rangle} = \frac{E}{2}$$

$$F = \frac{\frac{E}{2}}{\frac{E}{\pi}} = \frac{\pi}{2} = 1,57$$

\* Taux d'ondulation

$$F^2 = 1 + \delta_0^2 \Rightarrow \delta_0 = \sqrt{F^2 - 1}$$

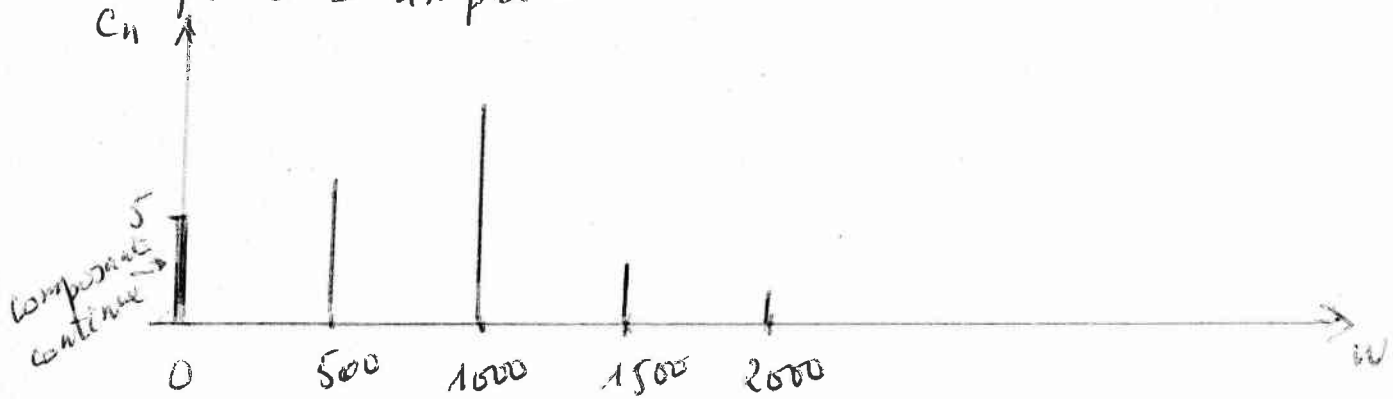
$$\delta_0 = \sqrt{\frac{\pi^2}{4} - 1} = 1,21$$

Exercice 8 :

(14)

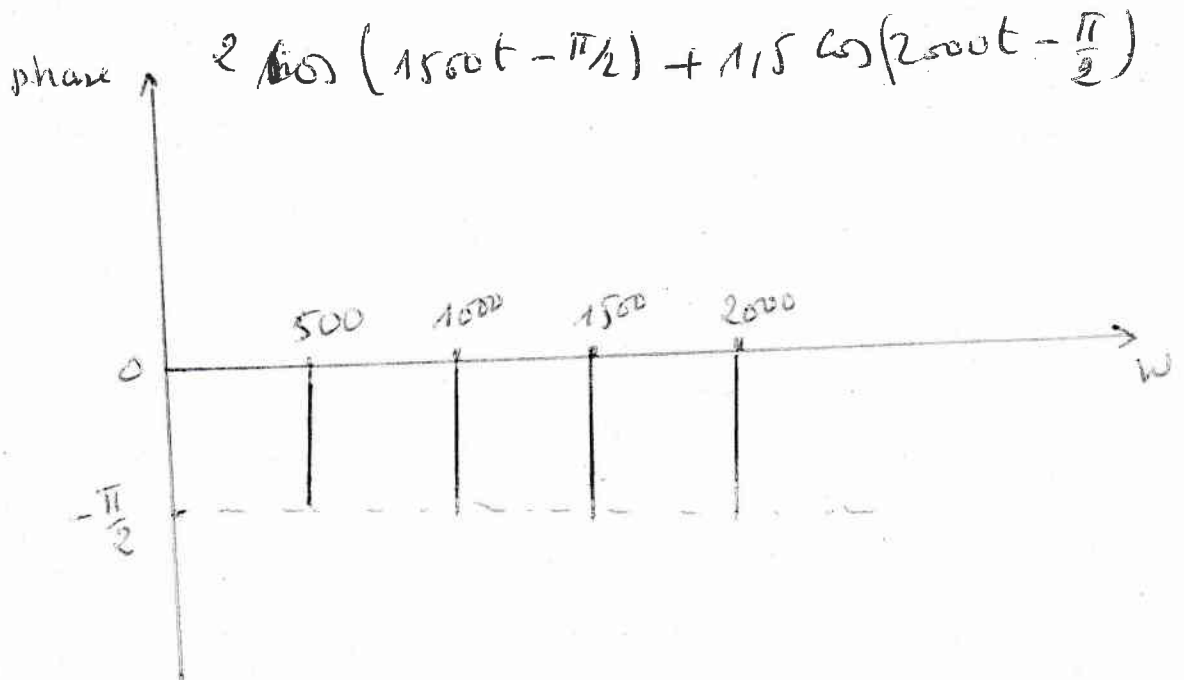
$$s(t) = 5 + 7 \sin(500t) + 10 \sin(1000t) + 2 \sin(1500t) + 115 \sin(2000t)$$

\* Spectre d'amplitude de



Spectre de phase

$$s(t) = 5 + 7 \cos\left(500t - \frac{\pi}{2}\right) + 10 \cos\left(1000t - \frac{\pi}{2}\right) + 2 \cos\left(1500t - \frac{\pi}{2}\right) + 115 \cos\left(2000t - \frac{\pi}{2}\right)$$



## Exercice 9

(15)

Le système est dit linéaire s'il existe une équation différentielle  $\delta$  coefficient constant entre  $e(t)$  et  $s(t)$ .

Autrement dit, si on donne le spectre de  $e$  au système linéaire, il est mis à l'échelle de  $s$  et de phase  $\varphi$ . Sinon, si on a supprimé des voix et si la seule signal d'entrée peut obtenir un spectre  $s$  non vide en sortie.

a) On appelle spectre de fréquence, la représentation en fonction de la fréquence, des amplitudes et éventuellement des phases des composants sinusoidales d'une grandeur périodique fonction du temps.

b) Le système a. Laisser les voix de faible fréquence et obtenir soit supprimer les hautes fréquences. Soit c'est un filtre linéaire. Nature ou rôle = filtre passe-bas.

c) Le filtre 2 supprimer les voix de basses fréquences et de hautes fréquences. C'est un système linéaire.

Nature : filtre passe bande  
Le filtre 3 est un filtre non régressif.

16/17

La formule de Parseval se démontre en remarquant que :

$$s^2(t) = \left[ C_0 + \sum_{n=1}^{\infty} C_n \cos(n\omega t + \phi_n) \right]^2$$

comprend :

- un terme constant  $C_0^2$  de valeur moyenne  $C_0^2$  ;
- des termes en  $2C_0C_n \cos(n\omega t + \phi_n)$  et en :

$$2C_n \cos(n\omega t + \phi_n) C_m \cos(m\omega t + \phi_m) \quad (n \neq m)$$

de valeur moyenne nulle ;

- des termes en  $C_n^2 \cos^2(n\omega t + \phi_n)$  de valeur moyenne  $\frac{1}{2}C_n^2$ .

La formule de Parseval peut s'interpréter physiquement en constatant que l'énergie est souvent une fonction quadratique du signal (par exemple

$\mathcal{E} = \frac{1}{2}Cu^2$  dans un condensateur  $\mathcal{E}_K = \frac{1}{2}mv^2$  pour un point matériel...).

Elle signifie alors que l'énergie moyenne contenue dans le signal périodique est la somme des énergies moyennes associées à chacun de ses harmoniques.

## Application 2

### Puissance moyenne d'un courant redressé

1) Calculer, en utilisant sa définition, la valeur efficace  $I$  d'un courant sinusoïdal redressé double alternance.

Comparer au signal non redressé.

2) Ce courant redressé est filtré par un filtre passe-bas parfait, de fréquence de coupure  $f_H$ . Un tel filtre a pour fonction de transfert :

$$\underline{H}(j\omega) = 1 \text{ si } f < f_H \text{ et } \underline{H}(j\omega) = 0 \text{ si } f > f_H$$

Déterminer la valeur minimale de  $f_H$  pour que 99 % de la puissance moyenne  $\mathcal{P}$  soit transmise.

Comparer au signal non redressé.

1) Par définition :

$$I^2 = \frac{1}{T} \int_0^T i^2(t) dt = \frac{i_m^2}{T} \int_0^T \sin^2(\omega t) dt = \frac{i_m^2}{2}$$

d'où, comme pour le signal non redressé :

$$I = \frac{i_m}{\sqrt{2}}$$

2) Nous avons vu l'expression de la décomposition en série de Fourier d'un courant redressé double alternance (cf. § 1.4.4.) :

$$i(t) = \frac{2i_m}{\pi} \left[ 1 - 2 \sum_{p=1}^{\infty} \frac{\cos(2p\omega t)}{4p^2 - 1} \right]$$

Notons  $Z = R + jX$  l'impédance d'utilisation. Elle aurait reçu avant filtrage la puissance :

$$\mathcal{P} = RI^2 = R \frac{i_m^2}{2}$$

Après filtrage passe-bas, en ne conservant que les  $n$  premiers harmoniques, cette impédance ne reçoit plus que la puissance :

$$\mathcal{P}_n = R \frac{4i_m^2}{\pi^2} \left[ 1 + 2 \sum_{p=1}^n \frac{1}{(4p^2 - 1)^2} \right]$$

d'après le théorème de Parseval.

Le rapport  $\rho_n$  de la puissance  $\mathcal{P}_n$  transmise par le filtre à la puissance  $\mathcal{P}$  disponible avant filtrage est :

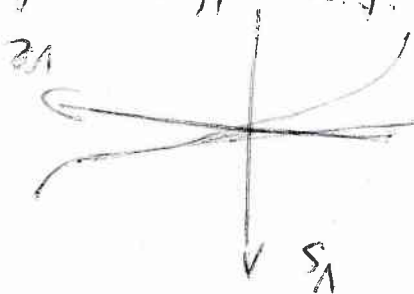
$$\rho_n = \frac{\mathcal{P}_n}{\mathcal{P}} = \frac{8}{\pi^2} \left[ 1 + 2 \sum_{p=1}^n \frac{1}{(4p^2 - 1)^2} \right]$$

Calculons les trois premières valeurs de  $\rho_n$  :

$$\rho_0 = 0,8104, \quad \rho_1 = 0,9905 \quad \text{et} \quad \rho_2 = 0,9977$$

Pour que 99 % de la puissance soit transmise par le filtre, il suffit que sa fréquence de coupure  $f_H$  soit supérieure à la fréquence du fondamental  $f_1 = \frac{2\omega}{2\pi} = \frac{\omega}{\pi}$ , c'est-à-dire au double de la fréquence du courant avant redressement. Pour le signal non redressé, on a 100 % de transmission de la puissance dès que  $f_H > f_1$ . Pour le signal redressé, ce n'est pas très différent.

Exercice 11 : Distribution harmonique d'un amplificateur



Caractéristique d'un amplificateur en régime harmonique de petit signal.

A l'entrée de l'amplificateur on a :  $V_e = V_m \cos \omega t$   
 le signal de sortie en sortie n'est pas sinusoidal :

$$V_s(t) = a V_m \cos \omega t + b V_m^3 \cos^3 \omega t$$

linéarisation :  $\cos^3 \omega t = \frac{4}{3} \cos \omega t + \frac{1}{4} \cos 3 \omega t$

$$\cos^3 \omega t = \cos^2 \omega t \times \cos \omega t = \frac{1}{2} (1 + \cos 2 \omega t) \cos \omega t$$

$$= \frac{1}{2} \cos \omega t + \frac{1}{4} \cos 2 \omega t \cos \omega t$$

$$= \frac{1}{2} \cos \omega t + \frac{1}{4} (\cos 3 \omega t + \cos \omega t)$$

$$= \frac{3}{4} \cos \omega t + \frac{1}{4} \cos 3 \omega t$$

Il vient :

$$V_s(t) = \left[ a V_m + \frac{3b V_m^3}{4} \right] \cos \omega t + \frac{b V_m^3}{4} \cos 3 \omega t$$

La décomposition en série de Fourier de la fonction de sortie comprend deux termes, respectivement d'amplitude  $S_1$  et  $S_3$

$$C_1 = a V_m + \frac{3b}{4} V_m^3 \quad \text{et} \quad C_3 = \frac{b}{4} V_m^3$$

Le type de distribution harmonique de l'amplificateur

d'un amplif :  $S_3 = \frac{C_3}{C_1} = \frac{\frac{b}{4} V_m^3}{a V_m + \frac{3b}{4} V_m^3} = \frac{S_1}{S_1 + \frac{3b}{4a} V_m^2}$

$$S_3 = \frac{3b + 4a}{b} \frac{V_m^2}{V_m^2}$$

Le type de distribution harmonique est une fonction croissante de

l'amplitude.

Comme cela est généralement le cas, la distribution harmonique de cet amplificateur se manifeste surtout en régime de forts signaux